



REGIONE PUGLIA  
 PROVINCIA DI FOGGIA  
 COMUNI DI CASTELLUCCIO DEI SAURI,  
 BOVINO E DELICETO



PROGETTO IMPIANTO AGRIVOLTAICO DA REALIZZARE NEL COMUNE DI BOVINO (FG) IN LOCALITA' "LAMIA" AL FOGLIO N.12 P.LLA 163, E NEL COMUNE DI CASTELLUCCIO DEI SAURI IN LOCALITA' "POSTA CONTESSA" AL FOGLIO N.14 P.LLE 10, 12, 13, 16, 21, 63, 66, 67, 68, 71, 72, 73, 88, 89, 94 E 233, E DELLE RELATIVE OPERE DI CONNESSIONE DA REALIZZARE NEI COMUNI DI BOVINO, CASTELLUCCIO DEI SAURI E DELICETO (FG), AVENTE UNA POTENZA PARI A **63.784,00 kWp**, DENOMINATO "**DELICETO HV**"

PROGETTO DEFINITIVO

RELAZIONE CALCOLI PRELIMINARI STRUTTURE



LIV. PROG.	RIF. COD. PRATICA TERNA	CODICE ISTANZA AU	TAVOLA	DATA	SCALA
PD	202001480	JUTWD01	A.14	17.05.2022	-

REVISIONI

REV.	DATA	DESCRIZIONE	ESEGUITO	VERIFICATO	APPROVATO

RICHIEDENTE E PRODUTTORE



HF SOLAR 8 S.r.l. - Viale Francesco Scaduto n°2/D - 90144 Palermo (PA)

ENTE

\_\_\_\_\_  
FIRMA RESPONSABILE

PROGETTAZIONE



Ing. D. Siracusa  
 Ing. A. Costantino  
 Ing. C. Chiaruzzi  
 Ing. G. Schillaci  
 Ing. G. Buffa  
 Ing. M. C. Musca

Arch. M. Gullo  
 Arch. S. Martorana  
 Arch. F. G. Mazzola  
 Arch. A. Calandrino  
 Arch. G. Vella  
 Dott. Agr. B. Miciluzzo

HORIZONFIRM S.r.l. - Viale Francesco Scaduto n°2/D - 90144 Palermo (PA)

PROFESSIONISTA INCARICATO

\_\_\_\_\_  
FIRMA DIGITALE PROGETTISTA

\_\_\_\_\_  
FIRMA OLOGRAFA E TIMBRO  
PROFESSIONISTA

## Sommario

<b>1.</b>	<b><u>PREMESSA.....</u></b>	<b><u>3</u></b>
<b>2.</b>	<b><u>AREA DI INTERVENTO E DESCRIZIONE GENERALE DELL'OPERA .....</u></b>	<b><u>3</u></b>
<b>3.</b>	<b><u>NORMATIVE DI RIFERIMENTO .....</u></b>	<b><u>7</u></b>
<b>4.</b>	<b><u>ASPETTI GEOTECNICI.....</u></b>	<b><u>7</u></b>
<b>5.</b>	<b><u>DESCRIZIONE E CARATTERISTICHE GEOMETRICHE DEL TRACKER.....</u></b>	<b><u>10</u></b>
<b>6.</b>	<b><u>VANI ACCESSORI IN C.A. PREFABBRICATI E IN ACCIAIO ALL'INTERNO DELL'IMPIANTO.....</u></b>	<b><u>14</u></b>
<b>6.1</b>	<b><u>CABINA DI RACCOLTA (A), LOCALE CONVERSIONE E TRASFORMAZIONE (C), LOCALE TECNICO UTENTE (D) E LOCALE TECNICO A SERVIZIO DELL'ALLEVAMENTO (E).....</u></b>	<b><u>15</u></b>
<b>6.2</b>	<b><u>CABINE SERVIZI AUSILIARI (B) (DELLA TIPOLOGIA CEP O SIMILARE) .....</u></b>	<b><u>17</u></b>
<b>7</b>	<b><u>PALI DI ILLUMINAZIONE .....</u></b>	<b><u>18</u></b>
<b>8.</b>	<b><u>CARATTERISTICHE DEI MATERIALI IMPIEGATI .....</u></b>	<b><u>24</u></b>
<b>9.</b>	<b><u>AZIONI SULLE STRUTTURE IN C.A E PARAMETRI SIMICI DI CALCOLO .....</u></b>	<b><u>24</u></b>
<b>9.1</b>	<b><u>REGOLARITÀ DELLE STRUTTURE E FATTORE DI STRUTTURA .....</u></b>	<b><u>24</u></b>
<b>9.2</b>	<b><u>COMBINAZIONI DELLE AZIONI SULLA COSTRUZIONE .....</u></b>	<b><u>24</u></b>
<b>9.3</b>	<b><u>DESTINAZIONE D'USO E SOVRACCARICHI VARIABILI DOVUTO ALLE AZIONI ANTROPICHE.....</u></b>	<b><u>27</u></b>
<b>9.4</b>	<b><u>MODELLO DI CALCOLO .....</u></b>	<b><u>28</u></b>
<b>9.5</b>	<b><u>DURABILITÀ.....</u></b>	<b><u>29</u></b>
<b>9.6</b>	<b><u>MISURA DELLA SICUREZZA .....</u></b>	<b><u>29</u></b>
<b>9.7</b>	<b><u>SCHEMATIZZAZIONE DELLA STRUTTURA .....</u></b>	<b><u>29</u></b>
<b>9.8</b>	<b><u>COMBINAZIONE DI CALCOLO.....</u></b>	<b><u>30</u></b>

<b><u>9.9</u></b>	<b><u>AZIONI AGENTI SULLE FONDAZIONI .....</u></b>	<b><u>32</u></b>
<b><u>9.10</u></b>	<b><u>PARAMETRI SISMICI .....</u></b>	<b><u>33</u></b>
<b><u>10.</u></b>	<b><u>ANALISI DEI CARICHI STRUTTURE - TRACKER.....</u></b>	<b><u>35</u></b>
<b><u>10.1</u></b>	<b><u>LOCALIZZAZIONE DELL'INTERVENTO .....</u></b>	<b><u>36</u></b>
<b><u>10.2</u></b>	<b><u>ANALISI DEI CARICHI .....</u></b>	<b><u>36</u></b>
<b><u>10.2.1</u></b>	<b><u>CARICHI PERMANENTI G.....</u></b>	<b><u>36</u></b>
<b><u>10.2.2</u></b>	<b><u>CALCOLO DELLE AZIONI DEL VENTO .....</u></b>	<b><u>36</u></b>
<b><u>10.2.3</u></b>	<b><u>CALCOLO DELLE AZIONI DA NEVE.....</u></b>	<b><u>41</u></b>
<b><u>10.3</u></b>	<b><u>VALUTAZIONE DELL'AZIONE SISMICA.....</u></b>	<b><u>42</u></b>
	<b><u>CONCLUSIONI.....</u></b>	<b><u>47</u></b>

## 1. PREMESSA

La presente relazione preliminare di calcolo strutturale riguarda il progetto di un impianto agrivoltaico all'interno del territorio comunale di Bovino (FG) in località Lamia, nel territorio comunale di Castelluccio dei Sauri (FG) in Località Posta Contessa e delle relative opere per la connessione individuate nei comuni di Bovino, Castelluccio dei Sauri e Deliceto.

La relazione ha lo scopo di definire la geometria degli elementi strutturali di sostegno dei pannelli fotovoltaici e delle fondazioni delle cabine al servizio del progetto per la realizzazione dell'impianto e di fornire indicazioni sulla modalità di calcolo che verrà utilizzata per dimensionare suddetti elementi strutturali.

Resta inteso che le effettive strutture saranno opportunamente calcolate e verificate in sede di progettazione definitiva e che la tipologia individuata potrà essere sostituita con altra simile sempre nel rispetto di dimensioni e sistema di inseguimento solare.

Le strutture utilizzate sono quindi rappresentate da inseguitori solari monoassiali denominati "tracker" con sopra ancorati i moduli fotovoltaici le cui caratteristiche dimensionali e geometriche sono meglio rappresentate nelle pagine seguenti. Tali strutture vengono infisse nel terreno mediante battitura dei montanti e senza utilizzo di calcestruzzo o altro materiale.

Le altre strutture presenti nel progetto sono elementi prefabbricati e/o accessori funzionali pre-assemblati forniti e posati in opera da ditte specializzate e quindi accompagnati da idonea certificazione di conformità anche sotto il profilo strutturale.

## 2. AREA DI INTERVENTO E DESCRIZIONE GENERALE DELL'OPERA

L'area per l'installazione dell'impianto agrivoltaico si trova nel territorio comunale di **Bovino** (FG) in Località Lamia al Foglio n°12 particella 163 e nel territorio comunale di **Castelluccio dei Sauri** (FG) in Località Posta Contessa al Foglio n°14 particelle 10, 12, 13, 16, 21, 63, 66, 67, 68, 71, 72, 73, 88, 89, 94 e 233; le relative opere di connessione si troveranno nei comuni di Bovino, Castelluccio dei Sauri e Deliceto. L'impianto sarà collegato all'area individuata per la connessione alla RTN attraverso cavidotti interrati a 36 kV che interesseranno principalmente la viabilità pubblica eccetto un tratto individuato all'interno del Foglio 28 del comune di Deliceto che attraverserà terreni di privati.

L'impianto sarà così suddiviso:

- la parte di impianto, sita in territorio comunale di **Bovino in Località Lamia**, risiederà in un appezzamento

di terreno posto ad un'altitudine media di circa **222.00** m.s.l.m., di forma poligonale abbastanza regolare, avente un'estensione di circa **31,6 Ha**;

- la parte di impianto, sita in territorio comunale di **Castelluccio dei Sauri in Località Posta Contessa**, risiederà su un appezzamento di terreno posto ad un'altitudine media di circa **215.00** m.s.l.m., di forma poligonale abbastanza regolare, avente un'estensione di circa **96,5 Ha**.

Dal punto di vista morfologico, i lotti sono caratterizzati da lievi e medie pendenze che degradano generalmente in direzione Sud e su questo saranno disposte le strutture degli inseguitori solari orientate secondo l'asse Nord-Sud.

Le aree sono facilmente raggiungibili attraverso la viabilità pubblica esistente. La viabilità interna al sito sarà garantita da una rete di strade interne in terra battuta (rotabili/carrabili).

L'area disponibile risulta essere complessivamente circa **128,16 ha** mentre quella di **impianto è di circa 69,35 ha**; di questi solo **31,67 ha** circa risultano essere occupati dagli inseguitori (**area captante**) determinando sulla superficie complessiva assoggettata all'impianto un'incidenza pari a circa il **24,7%**. Si specifica altresì che la superficie occupata dalle coltivazioni sarà pari a circa 69,35 ha determinando un'incidenza delle sole coltivazioni pari a circa il 54,12% del totale contrattualizzato.

Le aree oggetto di studio sono terreni rurali confinanti generalmente con terreni agricoli caratterizzati prevalentemente da colture alternate periodicamente tra foraggio e coltura cerealicola e, nell'area vasta, sono presenti anche degli oliveti.

I terreni contengono al loro interno dei canali ed aree con pendenze orografiche che non saranno interessati dalla posa in opera delle cabine e dei tracker monoassiali.

Nel complesso, l'assetto morfologico dell'area vasta circostante si presenta abbastanza uniforme in quanto si riscontra la presenza di aree abbastanza pianeggianti con alcuni tratti a lieve pendenza.

In fase di progetto, si è tenuto conto di una fascia di ombreggiamento dovuta alla futura fascia arborea perimetrale che potrebbe potenzialmente ostacolare l'irraggiamento diretto durante tutto l'arco della giornata. Non vi è presenza all'interno dei lotti interessati di edifici capaci di causare ombreggiamenti tali da compromettere la producibilità dell'impianto considerata la natura rurale del territorio.

Lo schema di connessione alla Rete, prescritto dal Gestore della Rete Elettrica di Trasmissione Nazionale con preventivo di connessione ricevuto ed identificato con Codice Pratica 202001480 prevede che l'impianto venga collegato in antenna a 36 kV sulla futura sezione a 36 kV della Stazione Elettrica di Trasformazione (SE)

della RTN denominata “Deliceto”, di cui al Piano di Sviluppo Terna.

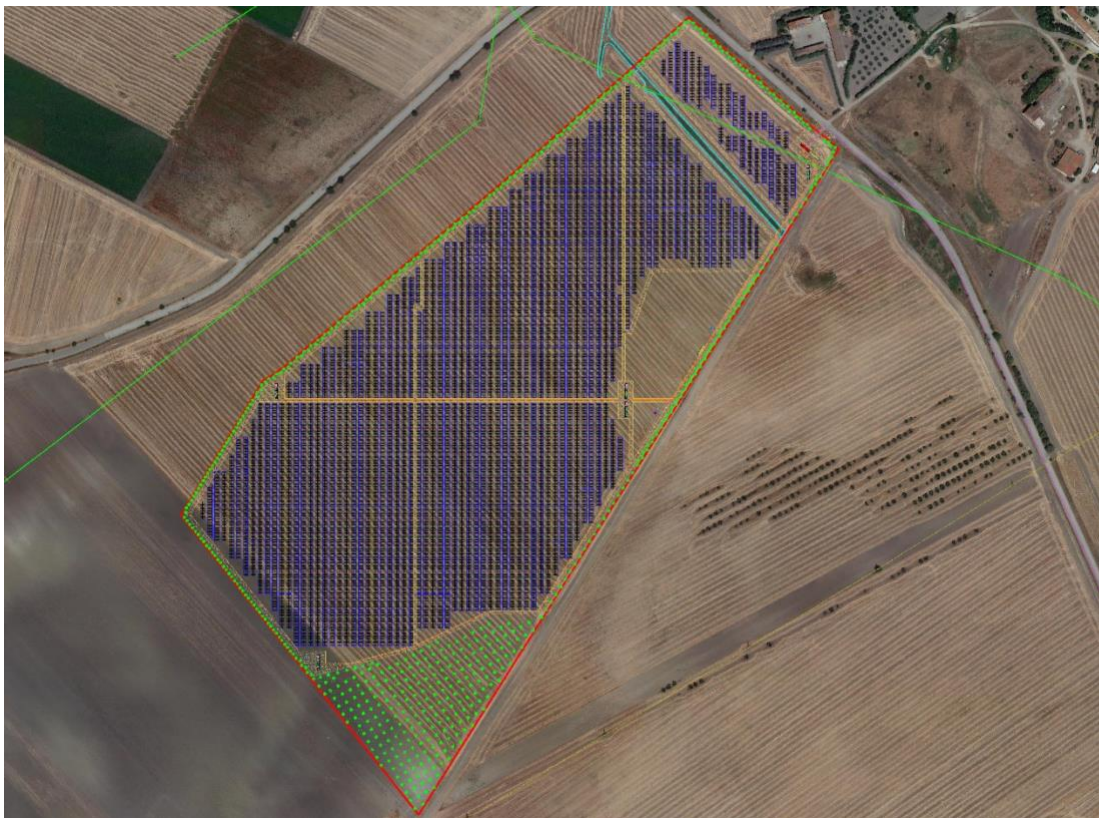
Il generatore denominato “**Deliceto HV**”, il cui numero di rintracciabilità è 202001480, ha una potenza nominale totale pari a **63.784,00 kWp** e sulla base di tale potenza è stato dimensionato tutto il sistema.



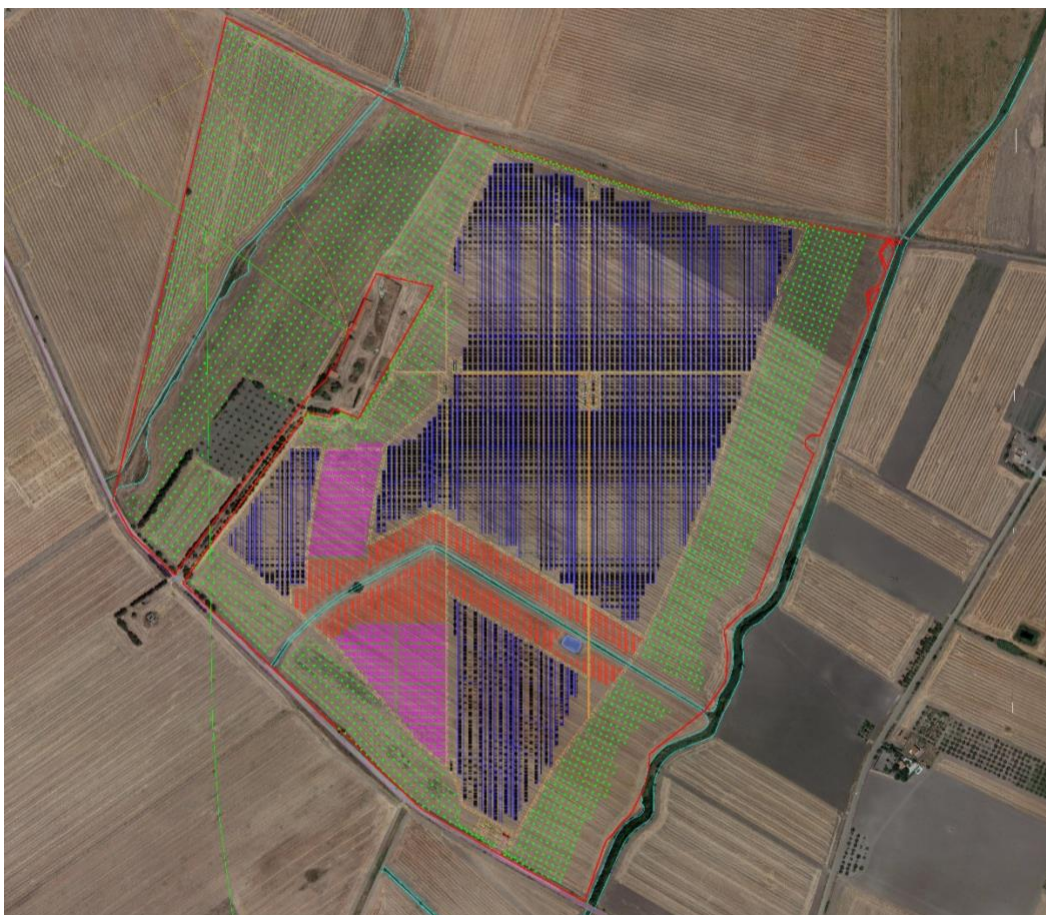
*Ubicazione delle aree dell'impianto e della sottostazione elettrica*



*Inquadramento Aree Impianto*



*Layout dell'Impianto agrivoltaico del "Lotto Bovino"*



*Layout dell'impianto agrivoltaico del "Lotto Castelluccio dei Sauri"*

### 3. NORMATIVE DI RIFERIMENTO

- . **D.M 17/01/2018** – *"Aggiornamento delle Norme Tecniche per le Costruzioni"*;
- . **Circ. Ministero Infrastrutture e Trasporti 21 gennaio 2019, n. 7**: *"Istruzioni per l'applicazione delle Nuove norme tecniche per le costruzioni di cui al D.M. 17 gennaio 2018"*;
- . **Legge n° 64 del 02/02/1974**: *"Provvedimenti per le costruzioni con particolari prescrizioni per le zone sismiche"*;
- . **Legge 05/11/1971 n° 1086**: *"Norme per la disciplina delle opere di conglomerato cementizio armato, normale e precompresso ed a strutture metalliche"*;
- . **UNI EN 1090-1**: *"Esecuzione di strutture di acciaio e di alluminio – Parte n 1: Requisiti per la valutazione di conformità dei componenti strutturali"*.

### 4. ASPETTI GEOTECNICI

*(stralcio della relazione geologica della Dott.ssa Geol. Giovanna Amedei, Rodi Garganico (FG) - Maggio 2022)*

L'area interessata dalla realizzazione dell'impianto agrivoltaico si colloca a cavallo tra due comuni; nello specifico è sita a NE rispetto l'abitato di Bovino, in località "Lamia" e a Sud rispetto all'abitato di Castelluccio dei Sauri, in località "Posta Contessa". L'area di progetto si colloca nei settori centrali dell'Appennino meridionale, nella zona di transizione tra i domini di catena e quelli di avanfossa .

Dal punto di vista geolitologico i terreni direttamente interessati dall'impianto agro-fotovoltaico sono attribuibili a formazioni diverse stante la diversità delle aree di collocazione.

Nello specifico:

1 - Impianto ricadente nel **Comune di Bovino**: interessa la formazione del Sintema della Sedia di Orlando (LSO) formata da una irregolare alternanza di silt e sabbie, frequentemente laminate, a cui sono a luoghi intercalati limitati corpi di ghiaie e di sabbie grossolane, a tratti con spessori di 10,00 m, scarsamente cementate.

2 - Impianto ricadente nel **Comune di Castelluccio dei Sauri**: interessa la formazione del Subintema di Monte Livagni (ADL2) formata da depositi di conglomerati poligenici, poco selezionati ma tendenti al ben cementati, con clasti costituiti da arenarie, calcari marnosi e più raramente calcari silicei e selci, dalle dimensioni variabili dalle medie (2-5 cm) fino a grandi (10-15 cm, a luoghi anche oltre i 50 cm) con grado di arrotondamento da discreto a buono.

3- **Stazione Elettrica**: Formazione delle Argille Subappennine (ASP) costituita da argille marnose più o meno siltose, a stratificazione mal distinguibile.

Dal punto di vista geostrutturale non si ha il riconoscimento di lineazioni tettoniche e/o strutturali anche per la tipologia delle formazioni affioranti che, per loro natura e giacitura, di depositi sciolti o al più debolmente cementati non subiscono un comportamento fragile alle deformazioni.

L'aspetto morfologico, in quest'area, è stato essenzialmente influenzato dalle litologie affioranti caratterizzate da una componente litoide in ciottoli più o meno addensati o dalla matrice sabbioso- argillosa dei depositi. In corrispondenza degli affioramenti più competenti spesso si sono sviluppati gli agglomerati che a volte derivano direttamente da antichi insediamenti umani (come Bovino e Castelluccio dei Sauri).

Allo stato attuale nell'area d'intervento non si evidenziano significativi segni di erosione, fenomeni gravitativi o fenomeni superficiali di dissesto in atto, presentandosi globalmente stabile.

Dal punto di vista idrografico i principali corsi d'acqua sono costituiti dal T. Cervaro e dal T. Carapellotto, oltre

che da una serie di Fossi posti all'interno di tali corsi d'acqua. Gli assi dei torrenti si sviluppano parallelamente tra loro e degradano con andamento pseudo rettilineo verso NE.

Il regime idraulico di entrambi i corsi d'acqua è di tipo torrentizio ed essenzialmente dipendente dalle fasi stagionali.

Il T. Cervaro rappresenta un importante corso che ha modellato anche la morfologia dei luoghi; infatti l'aspetto generale delle aree circostanti è di probabile genesi fluviolacustre e certamente ascrivibile (in termini di origine morfologica) alle azioni modellatrici dei paleo alvei del T. Cervaro a spese dei depositi.

Gli spartiacque superficiali, con pendenze poco spinte, presentano una circolazione idrica superficiale con caratteristiche idrauliche poco attive, basse velocità, assenza di carico solido e scarsità di potere erosivo.

Le acque corrive svolgono solo occasionalmente una certa azione di ruscellamento superficiale diffuso di tipo essenzialmente laminare in occasione di eventi piovosi particolarmente intensi.

Le caratteristiche idrogeologiche dell'area, e quindi il deflusso idrico delle acque sotterranee, sono direttamente connesse con la natura litologica dei terreni affioranti e con il locale stato di alterazione e/o fessurazione degli stessi.

L'acquifero presente, pur essendo dotato di permeabilità discreta, non è localmente dotato di importanti volumi delle riserve regolatrici limitando la portata dei pozzi presenti nell'area ad un valore inferiore a 1,0 lit./sec.

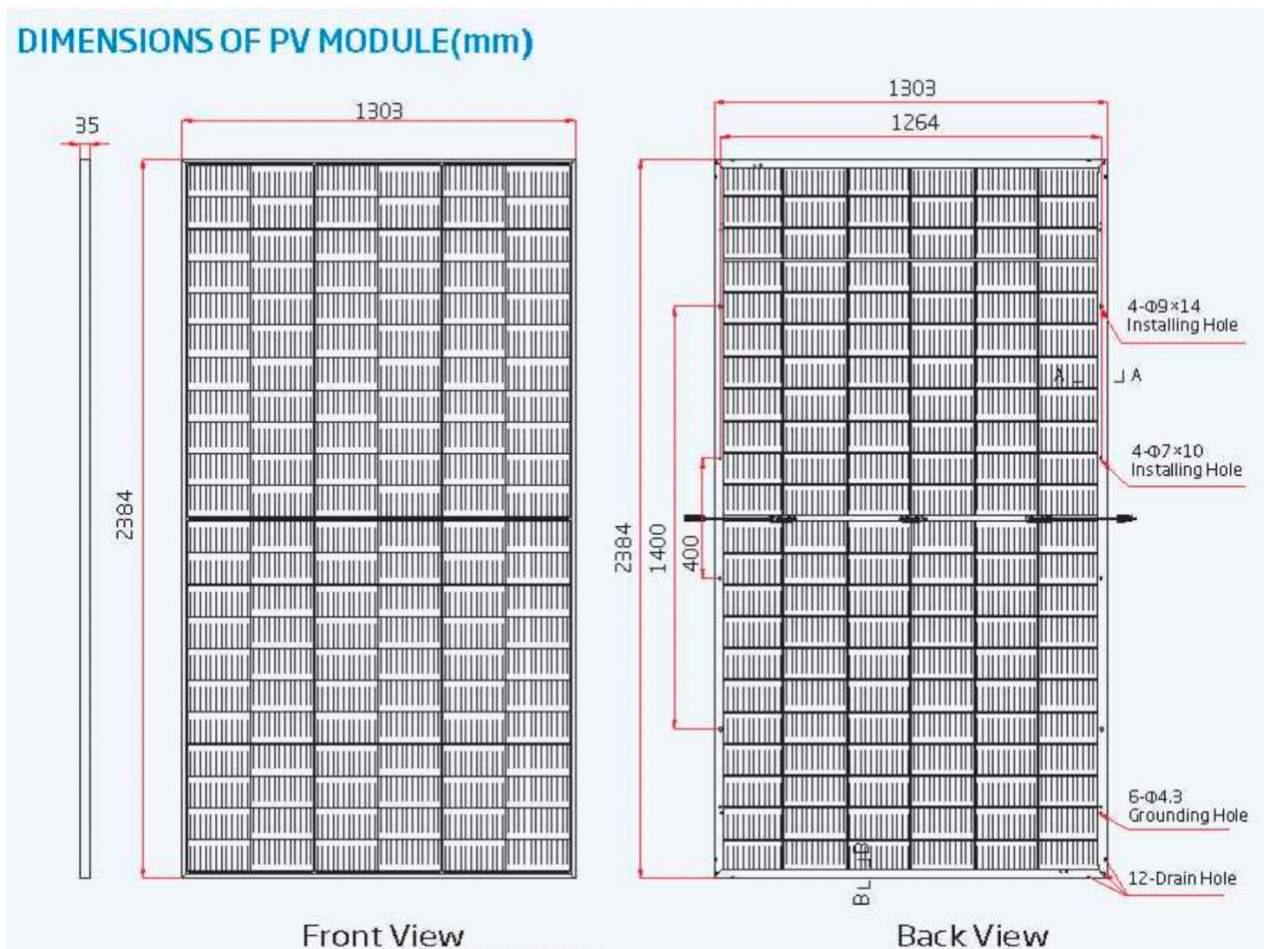
Tenuto conto che le opere progettate interferiscono solo con i primi metri della successione stratigrafica, in quanto sia le strutture di sostegno dei singoli pannelli che Sottostazione Elettrica saranno fondate a profondità non superiori a -3,50 metri dal p.c, si può concludere che non c'è nessuna interferenza tra le stesse opere fondali e la superficie piezometrica della falda superficiale.

In relazione agli aspetti geomorfologici per possibili dissesti superficiali e profondi non si evidenziano, allo stato attuale, situazioni di criticità. Tale status è confermato nella Carta Idrogeomorfologica dell'Autorità di Bacino Distrettuale dell'Appennino Meridionale nella quale risulta come l'area direttamente interessata dall'impianto non sia classificata né a pericolosità geomorfologica né idraulica. Alcune particelle di terreno rientrano in PG1 ma su di esse non sono previste opere. In base alle caratteristiche topografiche e di pendenza del terreno i pannelli che si andranno a realizzare, anche in relazione alla tipologia fondale da usarsi, non apporta alcuna variazione all'assetto idro-morfologico esistente pertanto si conferma la fattibilità dell'intervento in termini di P.A.I.;

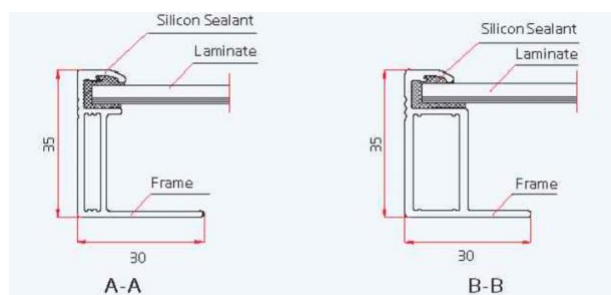
Per quanto riguarda la sismicità le aree rientrano in Zona 2 e il terreno di fondazione è classificabile come Categoria C per la parte di impianto ricadente nel Comune di Bovino e come B per la parte di impianto ricadente nel Comune di Castelluccio dei Sauri.

## 5. DESCRIZIONE E CARATTERISTICHE GEOMETRICHE DEL TRACKER

I moduli fotovoltaici previsti nel sito di progetto sono i Vertex Bifacial Dual Glass TSM-DEG21C.20 635-670W ed hanno dimensioni di 1303 mm x 2384 mm; questi ultimi sono montati su profili omega collegati al sistema di sostegno ad inseguimento solare monoassiale denominato tracker. I moduli sono montati sulla struttura lungo il lato lungo su due file ed hanno la possibilità di ruotare nella direzione Est-Ovest con inclinazione massima di  $\pm 55^\circ$  in modo da ottimizzare la produzione di energia elettrica.



*Dettagli del pannello fotovoltaico*



*Dettagli del pannello fotovoltaico*

### ELECTRICAL DATA (STC)

Peak Power Watts- $P_{MAX}$ (Wp) *	635	640	645	650	655	660	665	670
Power Tolerance- $P_{MAX}$ (W)	0 ~ +5							
Maximum Power Voltage- $V_{MPP}$ (V)	37.1	37.3	37.5	37.7	37.9	38.1	38.3	38.5
Maximum Power Current- $I_{MPP}$ (A)	17.15	17.19	17.23	17.27	17.31	17.35	17.39	17.43
Open Circuit Voltage- $V_{OC}$ (V)	44.9	45.1	45.3	45.5	45.7	45.9	46.1	46.3
Short Circuit Current- $I_{SC}$ (A)	18.21	18.26	18.31	18.35	18.40	18.45	18.50	18.55
Module Efficiency $\eta_m$ (%)	20.4	20.6	20.8	20.9	21.1	21.2	21.4	21.6

STC: Irradiance 1000W/m<sup>2</sup>, Cell Temperature 25°C, Air Mass AM1.5. \*Measuring tolerance: ±3%.

### Electrical characteristics with different power bin (reference to 10% Irradiance ratio)

Total Equivalent power - $P_{MAX}$ (Wp)	680	685	690	696	701	706	712	717
Maximum Power Voltage- $V_{MPP}$ (V)	37.1	37.3	37.5	37.7	37.9	38.1	38.3	38.5
Maximum Power Current- $I_{MPP}$ (A)	18.35	18.39	18.44	18.48	18.52	18.56	18.60	18.63
Open Circuit Voltage- $V_{OC}$ (V)	44.9	45.1	45.3	45.5	45.7	45.9	46.1	46.3
Short Circuit Current- $I_{SC}$ (A)	19.48	19.54	19.59	19.63	19.69	19.74	19.79	19.84
Irradiance ratio (rear/front)	10%							

Power Bifaciality: 70±5%.

### ELECTRICAL DATA (NOCT)

Maximum Power- $P_{MAX}$ (Wp)	480	484	488	492	495	499	504	508
Maximum Power Voltage- $V_{MPP}$ (V)	34.6	34.7	34.9	35.1	35.2	35.4	35.6	35.7
Maximum Power Current- $I_{MPP}$ (A)	13.90	13.94	13.98	14.01	14.05	14.10	14.16	14.20
Open Circuit Voltage- $V_{OC}$ (V)	42.3	42.5	42.7	42.9	43.0	43.2	43.4	43.6
Short Circuit Current- $I_{SC}$ (A)	14.67	14.71	14.75	14.79	14.83	14.87	14.91	14.95

#### Dettagli del pannello fotovoltaico

Solar Cells	Monocrystalline
No. of cells	132 cells
Module Dimensions	2384×1303×35 mm (93.86×51.30×1.38 inches)
Weight	38.7 kg (85.3 lb)
Front Glass	2.0 mm (0.08 inches), High Transmission, AR Coated Heat Strengthened Glass
Encapsulant material	POE/EVA
Back Glass	2.0 mm (0.08 inches), Heat Strengthened Glass (White Grid Glass)
Frame	35mm(1.38 inches) Anodized Aluminium Alloy
J-Box	IP 68 rated
Cables	Photovoltaic Technology Cable 4.0mm <sup>2</sup> (0.006 inches <sup>2</sup> ), Portrait: 280/280 mm(11.02/11.02 inches) Length can be customized
Connector	MC4 EV02 / TS4*

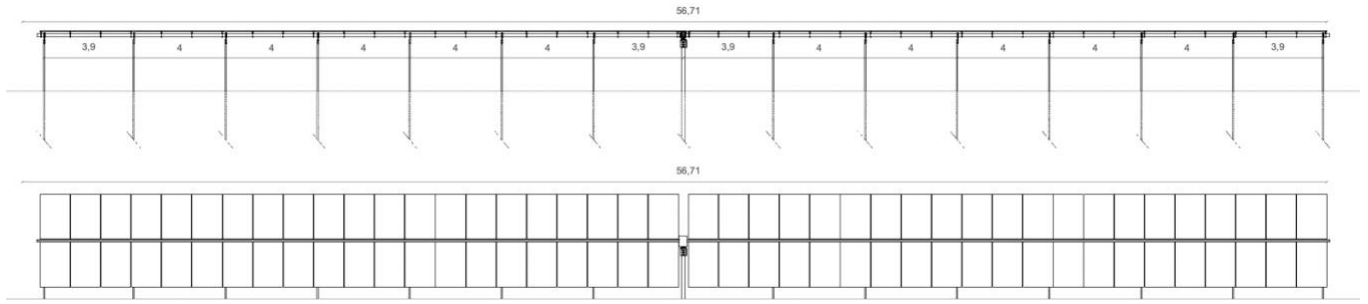
#### Dettagli del pannello fotovoltaico

La struttura di sostegno è costituita da profilati metallici in acciaio opportunamente dimensionati; i profili omega si attestano orizzontalmente ad un'altezza di circa 2,60 m circa in fase di riposo, mentre in fase di esercizio raggiungono una quota massima di circa 4,50 metri circa di altezza rispetto alla quota del terreno. L'asse di rotazione del tracker è uno scatolare in acciaio e il suo movimento è generato dalla presenza di uno o più attuatori.

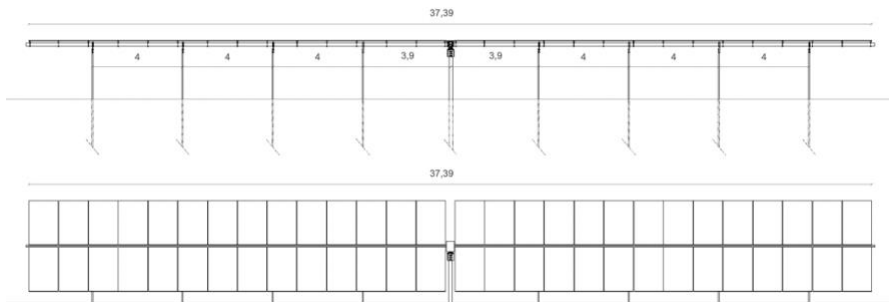
Tale struttura orizzontale viene appoggiata a pilastri in acciaio di forma regolare ed infissi nel terreno ad una profondità variabile in funzione delle caratteristiche litologiche del suolo.

Saranno posizionate tre tipologie di tracker:

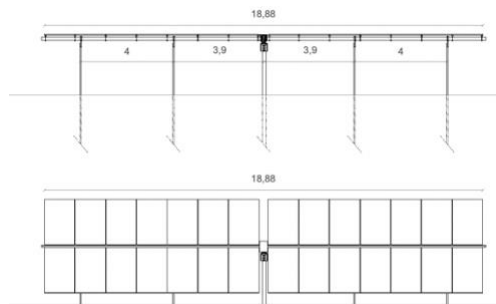
- Tracker da **84 moduli** di dimensioni in pianta di 56,71x4,91 m;
- Tracker da **56 moduli** di dimensioni in pianta di 37,39x4,91 m;
- Tracker da **28 moduli** di dimensioni in pianta di 18,88x4,91 m;



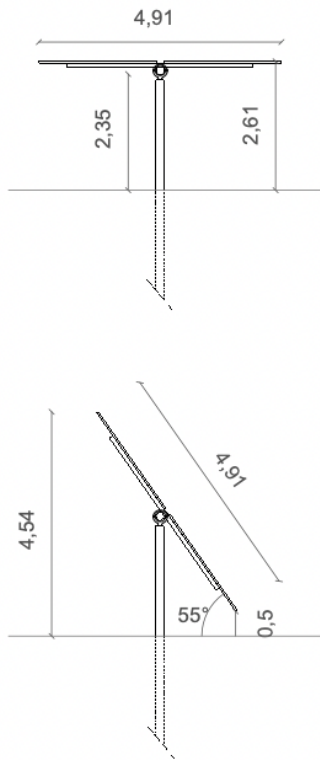
*Vista in prospettiva nelle due configurazioni orizzontale e inclinata del tracker da 84 moduli*



*Vista in prospettiva nelle due configurazioni orizzontale e inclinata del tracker da 56 moduli*



*Vista in prospettiva nelle due configurazioni orizzontale e inclinata del tracker da 28 moduli*



*Proiezione laterale dei tracker nelle due configurazioni*

L'intera struttura di sostegno del tracker rappresenta lo schema statico che verrà utilizzato per il calcolo e la verifica degli elementi strutturali in fase definitiva.

Data la similarità delle tre tipologie in termini di luci, sbalzi ed elementi strutturali, il calcolo verrà effettuato sul tracker da 84 moduli poichè di dimensioni maggiori rispetto agli altri due e verterà sullo studio delle due configurazioni:

- **configurazione  $\alpha = 55,0^\circ$**
- **configurazione  $\alpha = 0,0^\circ$**

## **6. VANI ACCESSORI IN C.A. PREFABBRICATI E IN ACCIAIO ALL'INTERNO DELL'IMPIANTO**

L'impianto sarà suddiviso in **13 sottocampi** e ognuno fa capo ad un gruppo di conversione e trasformazione; vengono di seguito descritte le caratteristiche dei vani accessori facente parte dell'impianto di produzione.

E' prevista la realizzazione di:

- a. **n. 2** cabine di raccolta del tipo container, di dimensioni 12,2x2,5x3 m (L x l x h) nella quale saranno collocati i quadri a 36 kV;

- b. n. 13** cabine dei servizi ausiliari, di dimensioni 2,5x3,28x2,55 m (L x l x h);
- c. n. 13** Cabine di Conversione e Trasformazione da 5000 kVA di dimensioni pari a circa 12,2x2,5x3 m (L x l x h), costituita da:
  - Inverter Sunny Central 2500-EV;
  - Trasformatore 0,55 kV/36 kV da 2500 kVA;
- d. n. 2** locali tecnici utente di dimensioni 12,2x2,5x3 m (L x l x h).
- e. n. 1** locale tecnico a servizio dell'allevamento di dimensione 12,2x2,5x3 m (L x l x h).

Sarà prevista inoltre una recinzione perimetrale di tipo metallica in grigliato a maglia rettangolare di ridotte dimensioni, e sarà disposta per una lunghezza di circa 5350 m; gli elementi verranno fissati al terreno attraverso paletti metallici che la sosterranno. Alla base della recinzione saranno inoltre previsti dei passaggi che consentiranno alla piccola fauna locale di attraversare l'area evitando ogni tipo di barriera.

#### **6.1 Cabina di Raccolta (a), Locale Conversione e Trasformazione (c), Locale Tecnico Utente (d) e Locale Tecnico a servizio dell'allevamento (e)**

Il Container avrà le seguenti dimensioni:

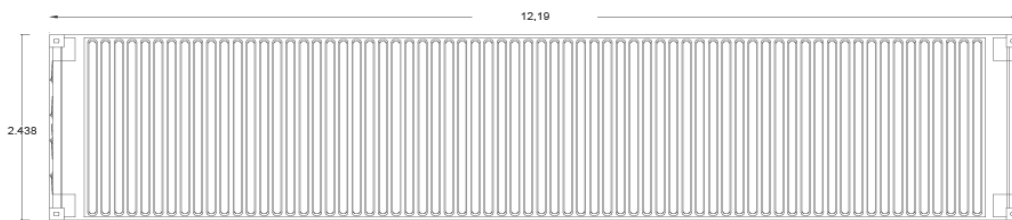
Larghezza: 2,43 m

Lunghezza: 12,19 m

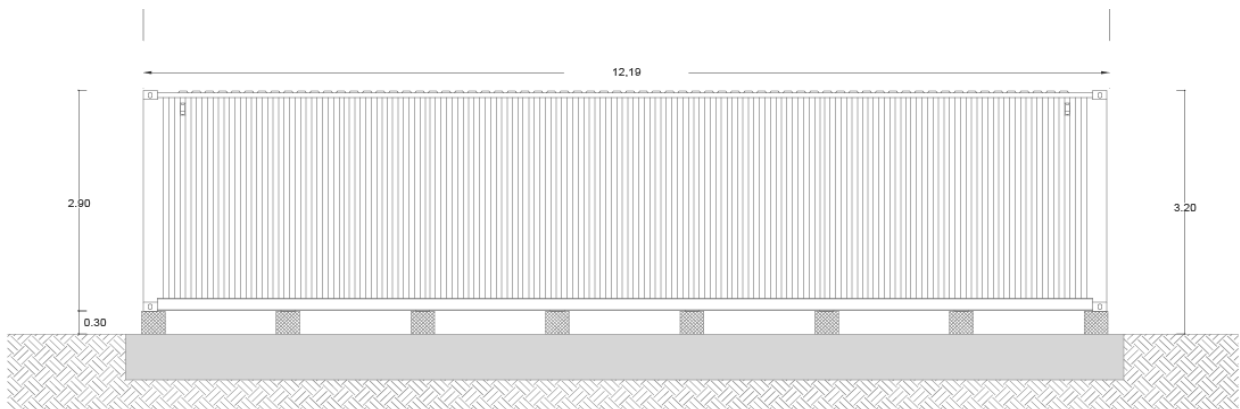
Altezza: 2,92 m

Superficie complessiva: 29,62 m<sup>2</sup>

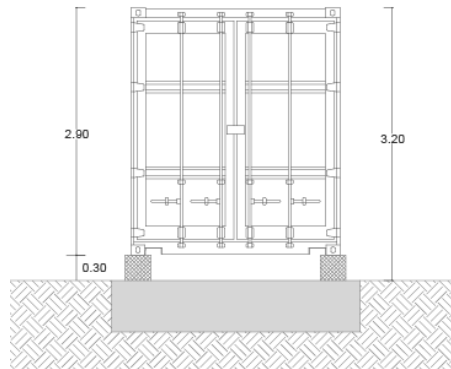
MV POWER STATION  
4400 / 4950 / 5000 / 5500 / 6000



*Pianta copertura del container*



### *Prospetto longitudinale*



### *Prospetto trasversale*

## **6.2 Cabine Servizi ausiliari (b) (della tipologia CEP o similare)**

I box prefabbricati CEP, destinati a cabine elettriche di trasformazione per Enti distributori e per utenti privati, sono identificati come monoblocchi tridimensionali prefabbricati a unico getto in conglomerato cementizio armato vibrato.

la struttura dei box è realizzata utilizzando un calcestruzzo Rck 400 Kg/cm<sup>2</sup> – C 32/40, confezionato in stabilimento mediante centrale di betonaggio automatica e additivato con idonei fluidificanti e impermeabilizzanti; ciò permette di ottenere adeguata protezione contro le infiltrazioni d'acqua per capillarità e protezione dall'esterno. L'armatura è realizzata con rete elettrosaldata a doppia maglia, irrigidita agli angoli dalle barre a doppio T, onde conferire al manufatto una struttura monolitica e gabbia equipotenziale di terra omogenea su tutta la struttura (gabbia di Faraday).

I box sono rifiniti sia internamente che esternamente con pitture murali plastiche idrorepellenti costituite da resine sintetiche p, polvere di quarzo, ossidi e coloranti additivi al fine di assicurarne la resistenza agli agenti atmosferici.

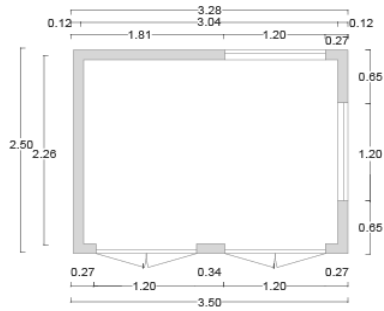
La cabina per i servizi ausiliari di campo avrà le seguenti dimensioni:

Larghezza: 2,50 m

Lunghezza: 3,28 m

Altezza: 2,55 m

Superficie complessiva: 8,2 m<sup>2</sup>



*Pianta della Cabina*



*Prospetto longitudinale*



*Prospetto trasversale*

## 7 PALI DI ILLUMINAZIONE

Il progetto strutturale dell'impianto di illuminazione all'interno del campo fotovoltaico sarà definito nel dettaglio in fase di progettazione definitiva; Ci limiteremo in questa fase a descrivere il metodo di calcolo utilizzato per la verifica di pali ancorati al terreno mediante plinti di fondazione.

Le verifiche verranno eseguite sia sul palo che sul plinto, il quale verrà dimensionato secondo quanto stabilito dal D.M. 17/01/2018 Aggiornamento delle "Norme Tecniche sulle Costruzioni" e dalla Circolare 21 Gennaio 2019 n.7 C.S.LL.PP. Istruzioni per l'applicazione dell'«Aggiornamento delle "Norme tecniche per le

costruzioni”» di cui al decreto ministeriale 17 gennaio 2018; per il calcolo dell’azione del vento è stato fatto riferimento alla CNR-DT 207 R1/2018 “Istruzioni per la valutazione delle azioni e degli effetti del vento sulle costruzioni”.

### **Azioni di Progetto**

Le azioni di progetto prese in conto per la verifica dell’opera in oggetto sono:

- carichi permanenti (pesi propri dei materiali strutturali, carichi permanenti non strutturali)
- azione del vento
- azione sismica

Di seguito si riportano in dettaglio le azioni considerate.

### ***Carichi permanenti***

I carichi permanenti da considerare nelle verifiche di resistenza e stabilità sono rappresentati dai pesi propri degli elementi strutturali e non strutturali.

### ***Azione del vento***

Il vento esercita una duplice azione sull’elemento in esame:

- un’azione concentrata, agente sulla sommità del palo, causata dalla pressione esercitata dal vento sull’apparecchio illuminante;
- un’azione distribuita, agente lungo tutto lo sviluppo del palo, causata dalla pressione esercitata dal vento sulla superficie del palo stesso.

il calcolo verrà effettuato secondo i punti seguenti:

- 1) valutazione della velocità e della pressione cinetica del vento;
- 2) valutazione dell’azione concentrata del vento sulla sommità del palo;
- 3) valutazione dell’azione distribuita del vento lungo lo sviluppo del palo ;

1) *Valutazione della velocità e della pressione cinetica del vento*

La determinazione della pressione cinetica di picco avviene tramite la formula:

$$q_p = (1/2) \cdot \rho \cdot v_b^2 \cdot c_e \cdot c_p$$

dove:

- $c_e$  = coefficiente di esposizione;
- $c_p$  = coefficiente di forma;
- $v_b$  = velocità base di riferimento s.l.m.;
- $\rho$  = densità dell'aria;

### 2) Valutazione dell'azione concentrata del vento sulla sommità del palo

La forza concentrata esercitata dal vento sulla sommità del palo sarà calcolata mediante la relazione seguente:

$$F_X = q_p(\bar{z}) \cdot L^2 \cdot c_{FX}$$

in cui:

- $q_p$  = pressione cinetica di picco del vento;
- $z$  = altezza di riferimento associata al coefficiente di forza;
- $L$  = lunghezza di riferimento su cui agisce la pressione del vento;
- $c_{FX}$  = coefficiente di forza secondo la direzione X;

L'area di riferimento  $L^2$  sarà assunta pari alla proiezione sul piano verticale dell'apparecchio di illuminazione posto sulla sommità del palo. Il coefficiente di forza sarà valutato in fase di progettazione.

### 3) Valutazione dell'azione distribuita del vento lungo lo sviluppo del palo

La forza distribuita esercitata dal vento lungo lo sviluppo del palo può essere calcolata mediante la relazione seguente:

$$f_X(z) = q_p(z) \cdot l \cdot c_{fX}$$

in cui:

- $q_p$  = pressione cinetica di picco del vento;
- $z$  = quota sul suolo;
- $l$  = dimensione di riferimento associata al coefficiente di forza;
- $c_{fX}$  = coefficiente di forza.

### **Azione sismica**

La vita nominale di un'opera strutturale  $V_N$  è intesa come il numero di anni nel quale la struttura, purchè soggetta alla manutenzione ordinaria, deve potere essere usata per lo scopo al quale è destinata.

Le azioni sismiche su ciascuna costruzione vengono valutate in relazione ad un periodo di riferimento  $V_R$  che si ricava, per ciascun tipo di costruzione, moltiplicandone la vita nominale  $V_N$  per il coefficiente d'uso  $C_U$  :

$$V_R = V_N \cdot C_U$$

Il valore del coefficiente d'uso  $C_U$  è definito al variare della classe d'uso.

L'azione sismica sul palo di illuminazione verrà considerata mediante l'applicazione di una forza statica equivalente alla forza indotta dall'azione sismica, in sommità del palo. Il periodo del modo di vibrare principale nella direzione in esame,  $T_1$ , verrà valutato utilizzando la seguente formula:

$$T_1 = C_1 \cdot H^{3/4}$$

La forza da applicare in sommità del palo sarà pari a:

$$F_h = S_d(T_1) \cdot W \cdot \lambda / g$$

dove  $S_d(T_1)$  è l'ordinata dello spettro di risposta di progetto,  $W$  è il peso complessivo della struttura,  $\lambda$  è un coefficiente pari a 1 nel caso in esame, e  $g$  è l'accelerazione di gravità.

### **Verifiche di sicurezza**

Lo schema di calcolo adottato per la valutazione delle sollecitazioni sarà quello di una mensola. Il plinto di fondazione sarà verificato con le massime sollecitazioni derivanti dal palo sovrastante. Per il calcolo delle strutture sarà utilizzato il **metodo semiprobabilistico agli stati limite**.

#### **Verifiche di sicurezza per carichi non sismici**

Le verifiche per i carichi non sismici vengono eseguite allo stato limite ultimo, mediante il metodo dei coefficienti parziali di sicurezza sulle azioni e sulle resistenze; le azioni di calcolo  $E_d$  si ottengono combinando le azioni caratteristiche secondo la seguente formula di correlazione:

$$\gamma_{G1} \cdot G_1 + \gamma_{G2} \cdot G_2 + \gamma_P \cdot P + \gamma_{Q1} \cdot Q_{k1} + \gamma_{Q2} \cdot \psi_{02} \cdot Q_{k2} + \gamma_{Q3} \cdot \psi_{03} \cdot Q_{k3} + \dots$$

dove:

$G_1$  rappresenta il valore caratteristico del peso proprio di tutti gli elementi strutturali;

$G_2$  rappresenta il valore caratteristico del peso proprio di tutti gli elementi non strutturali;

$P$  rappresenta il valore di pretensione;

$Qk1$  rappresenta il valore caratteristico dell'azione variabile dominante di ogni combinazione;

$Qki$  rappresenta il valori caratteristico della  $i$ -esima azione variabile;

$\gamma G1$ ,  $\gamma G2$ ,  $\gamma Qi$  e  $\gamma P$  rappresentano i coefficienti parziali di sicurezza;

Per il palo di illuminazione sarà effettuata l'unica verifica ritenuta significativa, ossia la **verifica a flessione (STR)**:

$$M_{c,Rd} \geq M_{Sd}$$

Per quanto riguarda il plinto di fondazione saranno effettuate le seguenti verifiche:

- **verifica a ribaltamento (EQU)**:

$$M_S/M_R \geq 1$$

- **verifica a scorrimento (GEO)**:

$$F_{stab}/F_{scorr} \geq 1$$

Dove:

$$F_{stab} = (\gamma_{G1,F} \cdot P \cdot \tan \frac{\delta}{\alpha}) / \gamma_R$$

$F_{scorr}$  = azione del vento

- **verifica di capacità portante del terreno (GEO)**:

Per il calcolo del carico limite si utilizzerà la formula di Brinch-Hansen, che esprime l'equilibrio fra il carico applicato alla fondazione e la resistenza limite del terreno:

$$q_{lim} = c \cdot N_c \cdot s_c \cdot d_c \cdot i_c \cdot g_c \cdot b_c + q \cdot N_q \cdot s_q \cdot d_q \cdot i_q \cdot g_q \cdot b_q + \frac{1}{2} \cdot B \cdot \gamma_f \cdot N_\gamma \cdot s_\gamma \cdot d_\gamma \cdot i_\gamma \cdot g_\gamma \cdot b_\gamma$$

in cui:

$c$  = coesione del terreno al disotto del piano di posa della fondazione;

$q = \gamma \cdot D$  = pressione geostatica in corrispondenza del piano di posa della fondazione;

$\gamma$  = peso unità di volume del terreno al di sopra del piano di posa della fondazione;

$D$  = profondità del piano di posa della fondazione;

$B$  = dimensione caratteristica della fondazione, che corrisponde alla larghezza della suola;

$L$  = Lunghezza della fondazione;

$\gamma_f$  = peso unità di volume del terreno al disotto del piano di posa della fondazione;

$N_c, N_q, N_\gamma$  = fattori di capacità portante;

$s, d, i, g, b, \psi$  = coefficienti correttivi.

Tale verifica si esegue confrontando la massima pressione di contatto trasmessa dal plinto di fondazione con

la pressione limite.

Nelle verifiche strutturali le azioni saranno moltiplicate per i coefficienti parziali di tipo STR.

Per la verifica a ribaltamento (Stato Limite di Equilibrio come corpo rigido), il momento ribaltante e quello stabilizzante saranno calcolati sulla base dei carichi agenti moltiplicati per i coefficienti parziali di tipo EQU.

Le verifiche a scorrimento e di capacità portante (verifiche di tipo Geotecnico) saranno condotte secondo l'Approccio 2 (A1+M1+R3).

### **Verifiche di sicurezza in condizioni sismiche**

Saranno effettuate le stesse verifiche con riferimento agli stati limite di ribaltamento, scorrimento sul piano di posa e capacità portante, per lo stato limite ultimo di salvaguardia della Vita (SLV).

#### **COMBINAZIONE DELL'AZIONE SISMICA CON LE ALTRE AZIONI**

Le verifiche agli stati limite ultimi o di esercizio devono essere effettuate per la combinazione dell'azione sismica con le altre azioni seguenti:

$$G_1 + G_2 + P + E + \sum_i \psi_{2i} \cdot Q_{ki}$$

dove:

E azione sismica per lo stato limite in esame;

G<sub>1</sub> carichi permanenti strutturali al loro valore caratteristico;

G<sub>2</sub> carichi permanenti non strutturali al loro valore caratteristico;

P valore caratteristico dell'azione di pretensione;

ψ<sub>2i</sub> coefficienti di combinazione delle azioni variabili Q<sub>ki</sub>;

Q<sub>ki</sub> valore caratteristico della azione variabile Q<sub>ki</sub>.

Per quanto riguarda la struttura di fondazione del palo, la **verifica a scorrimento** sul piano di fondazione sarà effettuata con l'Approccio 1 (E+M2+R1) con F<sub>scorr</sub> pari all'azione sismica, in quanto l'Approccio 2 conduce a risultati meno conservativi. I coefficienti parziali A2 saranno posti pari ad uno. Tutte le altre verifiche in condizioni sismiche sono state effettuate con l'Approccio 2, ponendo i coefficienti A1 pari ad uno.

Nella **verifica a capacità portante del terreno** in presenza di sisma la formula diventa:

$$q_{lim} = c \cdot N_c \cdot s_c \cdot d_c \cdot i_c \cdot g_c \cdot b_c \cdot z_c + q \cdot N_q \cdot s_q \cdot d_q \cdot i_q \cdot g_q \cdot b_q \cdot z_q + \frac{1}{\gamma} \cdot B \cdot \gamma_f \cdot N_\gamma \cdot s_\gamma \cdot d_\gamma \cdot i_\gamma \cdot g_\gamma \cdot b_\gamma \cdot z_\gamma \cdot c_\gamma$$

in cui, oltre ai termini già precedentemente indicati, si sono introdotti i seguenti termini:

$z_c, z_q, z_y$  = coefficienti correttivi dovuti all'effetto inerziale;

$c_y$  = coefficiente correttivo dovuto all'effetto cinematico.

## 8. CARATTERISTICHE DEI MATERIALI IMPIEGATI

Le caratteristiche dei materiali impiegati nei calcoli sono le seguenti:

- Acciaio B 450 C -  $f_{tk}=540 \text{ N/mm}^2$ ,  $f_{yk} 450 \text{ N/mm}^2$  ( $E= 200000 \text{ N/mm}^2$ ; peso spec.= $78,5 \text{ kN/m}^3$ ;  $G=84000 \text{ N/mm}^2$ );
- Calcestruzzo per strutture prefabbricate – C32/40,  $R_{ck} = 400 \text{ N/mm}^2$  ( $E= 33300 \text{ N/mm}^2$ ;  $n= 0.2$ ; peso spec.=  $25000 \text{ N/m}^3$ );
- Calcestruzzo per sottofondi – C12/15,  $R_{ck} = 150 \text{ N/mm}^2$  ( $E= 27085.17 \text{ N/mm}^2$ ;  $n= 0.2$ ; peso spec.=  $25000 \text{ N/m}^3$ );
- Calcestruzzo di regolarizzazione – C16/20,  $R_{ck} = 250 \text{ N/mm}^2$  ( $E= 28607.90 \text{ N/mm}^2$ ;  $n= 0.2$ ; peso spec.=  $25000 \text{ N/m}^3$ );
- Calcestruzzo per opere in c.a. – C25/30,  $R_{ck} = 300 \text{ N/mm}^2$  ( $E= 31500 \text{ N/mm}^2$ ;  $n= 0.2$ ; peso spec.=  $25000 \text{ N/m}^3$ );
- Acciaio per carpenteria metallica – S355,  $f_y = 355 \text{ N/mm}^2$ ,  $f_u = 510 \text{ N/mm}^2$ , ( $E= 210000 \text{ N/mm}^2$ ; peso spec.= $78,5 \text{ kN/m}^3$ ;  $G=84000 \text{ N/mm}^2$ );

## 9. AZIONI SULLE STRUTTURE IN C.A E PARAMETRI SIMICI DI CALCOLO

### 9.1 Regolarità delle strutture e fattore di struttura

Il fattore di struttura da adottare per il calcolo è quello associato alle strutture intelaiate in acciaio ( $q= 1,5$ ) mentre per le verifiche geotecniche delle opere di fondazioni si fa riferimento a strutture non dissipative, come previsto dalle NTC18. Trattandosi quindi di fondazioni superficiali, progettate in campo elastico, il fattore di struttura  $q$  sarà automaticamente determinato e pari a 1. Le fondazioni, dovendo essere progettate per rimanere in campo elastico, non necessiteranno quindi di specifiche armature per ottenere un comportamento duttile.

Tutte le strutture sono considerate regolari così come previsto dalle regole delle NTC18.

### 9.2 Combinazioni delle azioni sulla costruzione

Le azioni definite come al paragrafo 2.5.1 delle NTC 2018, dovranno essere combinate in accordo a quanto definito al paragrafo 2.5.3 delle stesse NTC, applicando i seguenti coefficienti di combinazione:

Categoria/Azione variabile	Y0j	Y1j	Y2j
Categoria A Ambienti ad uso residenziale	0,7	0,5	0,3
Categoria B Uffici	0,7	0,5	0,3
Categoria C Ambienti suscettibili di affollamento	0,7	0,7	0,6
Categoria D Ambienti ad uso commerciale	0,7	0,7	0,6
Categoria E Biblioteche, archivi, magazzini e ambienti ad uso industriale	1	0,9	0,8
Categoria F Rimesse e parcheggi (per autoveicoli di peso . 30 kN)	0,7	0,7	0,6
Categoria G Rimesse e parcheggi (per autoveicoli di peso > 30 kN)	0,7	0,5	0,3
Categoria H Coperture	0	0	0
Vento	0,6	0,2	0
Neve (a quota . 1000 m s.l.m.)	0,5	0,2	0
Neve (a quota > 1000 m s.l.m.)	0,7	0,5	0,2
Variazioni termiche	0,6	0,5	0

*Tabella 1: Valori dei coefficienti di combinazione (Tabella 2.5.I del D.M. 2018)*

I valori dei coefficienti parziali di sicurezza  $\gamma_{Gi}$  e  $\gamma_{Qj}$  da utilizzare nelle calcolazioni sono definiti nelle NTC 2018 al paragrafo 2.6.1- Tab. 2.6.I.

Le prestazioni attese nei confronti delle azioni sismiche dovranno essere verificate agli stati limite, sia di esercizio che ultimi individuati riferendosi alle prestazioni della costruzione nel suo complesso, includendo gli elementi strutturali, quelli non strutturali e gli impianti.

Gli stati limite di esercizio sono:

- *Stato Limite di Operatività (SLO);*
- *Stato Limite di Danno (SLD).*

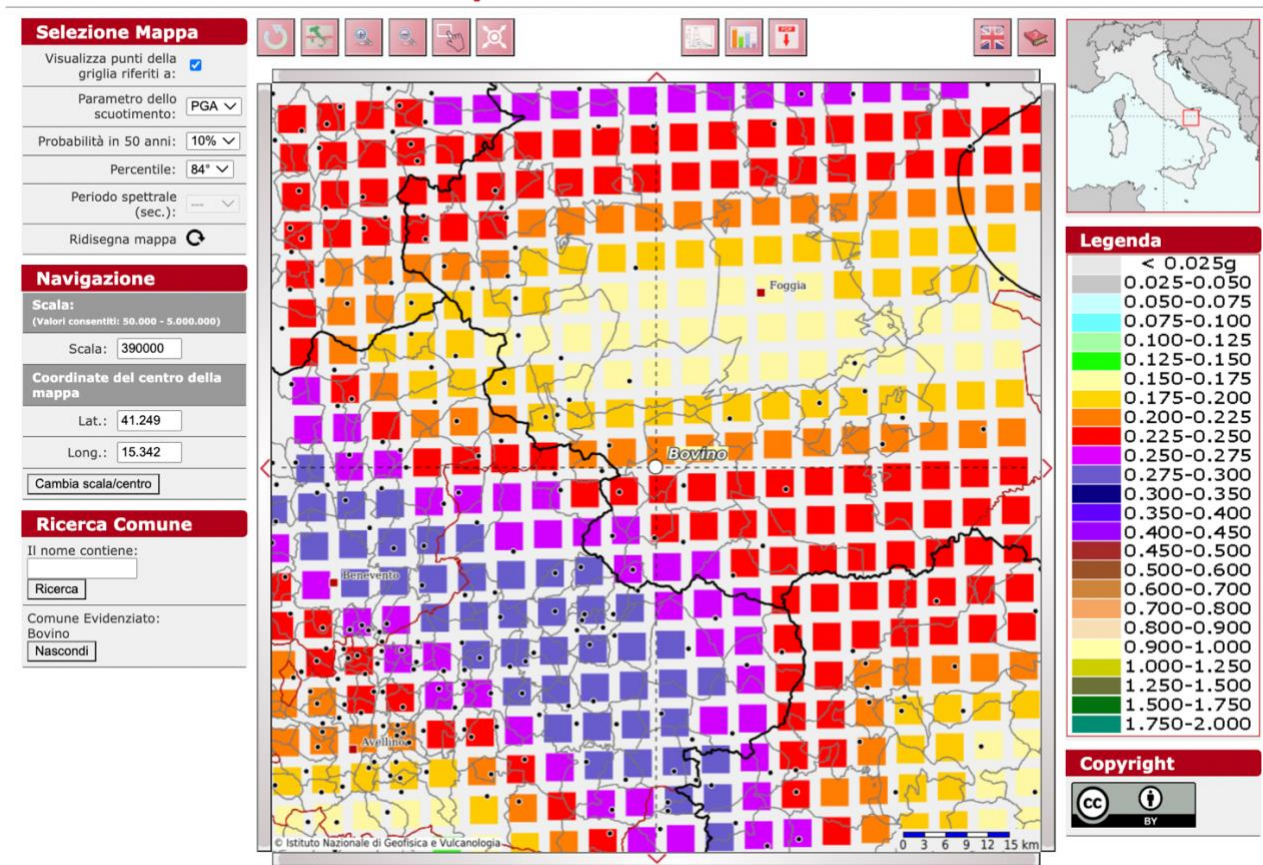
Gli stati limite ultimi sono:

- *Stato Limite di salvaguardia della Vita (SLV);*
- *Stato Limite di prevenzione del Collasso (SLC).*

Le NTC 2018 indicano che l'azione sismica sia caratterizzata da 3 componenti traslazionali, due orizzontali contrassegnate da X ed Y ed una verticale contrassegnata da Z, considerate tra di loro indipendenti, ed in funzione del tipo di analisi adottata, mediante una delle seguenti rappresentazioni:

- accelerazione massima attesa in superficie;
- accelerazione massima e relativo spettro di risposta attesi in superficie;
- accelerogramma

## Modello di pericolosità sismica MPS04-S1



*Parametri di pericolosità sismica del sito di intervento*

L'azione in superficie dovrà essere assunta come agente su tali piani. Le due componenti ortogonali indipendenti che descrivono il moto orizzontale saranno caratterizzate dallo stesso spettro di risposta.

L'accelerazione massima e lo spettro di risposta della componente verticale attesa in superficie, in assenza di documentazione potranno essere determinati sulla base dell'accelerazione massima e dello spettro di risposta delle due componenti orizzontali.

Per la definizione delle forme spettrali (spettri elastici e spettri di progetto), in conformità ai dettami del NTC 2018 § 3.2.3. vanno definiti i seguenti termini:

- Vita Nominale;

- *Classe d'Uso IV*
- *Categoria del suolo;*
- *Coefficiente Topografico;*
- *Latitudine e longitudine del sito oggetto di edificazione;*
- *Fattore di struttura  $q$ .*

Tali valori sono stati utilizzati da apposita procedura informatizzata che, a partire dalle coordinate del sito oggetto di intervento (sistema di coordinate UTM WGS 84 geografiche) fornisce i parametri di pericolosità sismica da considerare ai fini del calcolo strutturale.

Le verifiche delle prestazioni saranno effettuate per le azioni derivanti dalla neve e dal vento secondo quanto previsto al cap. 3 del DM 17.01.18 e della Circolare del Ministero delle Infrastrutture e dei Trasporti del 21 gennaio 2019 n. 7 per un periodo di ritorno coerente alla classe della struttura ed alla sua vita utile .

### **9.3 Destinazione d'uso e sovraccarichi variabili dovuto alle azioni antropiche**

Per la determinazione dell'entità e della distribuzione spaziale e temporale dei sovraccarichi variabili si dovrà fare riferimento alla tabella del D.M. 14.01.2018 in funzione della destinazione d'uso.

I carichi variabili comprendono i carichi legati alla destinazione d'uso dell'opera; i modelli di tali azioni possono essere costituiti da:

- *carichi verticali uniformemente distribuiti  $q_k$  [kN/m<sup>2</sup>]*
- *carichi verticali concentrati  $Q_k$  [kN]*
- *carichi orizzontali lineari  $H_k$  [kN/m]*

Tabella 2: Valori dei carichi di esercizio per le diverse categorie di edifici (Tabella 3.1.II del D.M. 2018)

Cat.	Ambienti	$q_k$ [kN/m <sup>2</sup> ]	$Q_k$ [kN]	$H_k$ [kN/m]
A	Ambienti ad uso residenziale. Sono compresi in questa categoria i locali di abitazione e relativi servizi, gli alberghi. (ad esclusione delle aree suscettibili di affollamento)	2,00	2,00	1,00
B	Uffici. Cat. B1 Uffici non aperti al pubblico Cat. B2 Uffici aperti al pubblico	2,00 3,00	2,00 2,00	1,00 1,00
C	Ambienti suscettibili di affollamento Cat. C1 Ospedali, ristoranti, caffè, banche, scuole Cat. C2 Balconi, ballatoi e scale comuni, sale convegni, cinema, teatri, chiese, tribune con posti fissi Cat. C3 Ambienti privi di ostacoli per il libero movimento delle persone, quali musei, sale per esposizioni, stazioni ferroviarie, sale da ballo, palestre, tribune libere, edifici per eventi pubblici, sale da concerto, palazzetti per lo sport e relative tribune	3,00 4,00 5,00	2,00 4,00 5,00	1,00 2,00 3,00
D	Ambienti ad uso commerciale. Cat. D1 Negozi Cat. D2 Centri commerciali, mercati, grandi magazzini, librerie...	4,00 5,00	4,00 5,00	2,00 2,00
E	Biblioteche, archivi, magazzini e ambienti ad uso industriale. Cat. E1 Biblioteche, archivi, magazzini, depositi, laboratori manifatturieri Cat. E2 Ambienti ad uso industriale, da valutarsi caso per caso	$\geq 6,00$ —	6,00 —	1,00* —
F-G	Rimesse e parcheggi. Cat. F Rimesse e parcheggi per il transito di automezzi di peso a pieno carico fino a 30 kN Cat. G Rimesse e parcheggi per transito di automezzi di peso a pieno carico superiore a 30 kN: da valutarsi caso per caso	2,50 —	2 x 10,00 —	1,00** —
H	Coperture e sottotetti Cat. H1 Coperture e sottotetti accessibili per sola manutenzione Cat. H2 Coperture praticabili Cat. H3 Coperture speciali (impianti, eliporti, altri) da valutarsi caso per caso	0,50 — —	1,20 — —	1,00 secondo categoria di appartenenza —
* non comprende le azioni orizzontali eventualmente esercitate dai materiali immagazzinati				
** per i soli parapetti o partizioni nelle zone pedonali. Le azioni sulle barriere esercitate dagli automezzi dovranno essere valutate caso per caso				

I valori nominali e/o caratteristici  $q_k$ ,  $Q_k$  ed  $H_k$  di riferimento sono riportati nella Tab. 3.1.II. delle NTC 2018. In presenza di carichi verticali concentrati  $Q_k$  essi saranno applicati su impronte di carico appropriate all'utilizzo ed alla forma dell'orizzontamento, in generale con forma dell'impronta di carico quadrata pari a 50 x 50 mm.

#### 9.4 Modello Di Calcolo

I modelli di calcolo da utilizzare saranno quelli esplicitamente richiamati nel D.M. 17.01.2018 ed in particolare:

- *analisi elastica lineare per il calcolo delle sollecitazioni derivanti da carichi statici;*
- *analisi dinamica modale con spettri di progetto per il calcolo delle sollecitazioni di progetto dovute all'azione sismica;*
- *analisi degli effetti del 2° ordine quando significativi;*
- *verifiche sezionali agli s.l.u. per le sezioni in c.a. utilizzando il legame parabola rettangolo per il*

*calcestruzzo ed il legame elastoplastico incoerente a duttilità limitata per l'acciaio.*

Per quanto riguarda le azioni sismiche ed in particolare per la determinazione del fattore di struttura, dei dettagli costruttivi e le prestazioni sia agli SLU che allo SLD si farà riferimento al D.M. 17.01.18 e alla circolare del Ministero delle Infrastrutture e dei Trasporti del 21 gennaio 2019, n. 7 che è stata utilizzata come norma di dettaglio.

### **9.5 Durabilità**

Per garantire la durabilità delle strutture saranno prese in considerazione opportuni stati limite di esercizio (SLE) in funzione dell'uso e dell'ambiente in cui le strutture dovranno essere utilizzate limitando sia gli stati tensionali che, nel caso delle opere in calcestruzzo, l'ampiezza delle fessure.

Inoltre per garantire la durabilità, così come tutte le prestazioni attese, sarà posta adeguata cura nelle previsioni sia nell'esecuzione che nella manutenzione e gestione della struttura prevedendo tutti gli accorgimenti utili alla conservazione delle caratteristiche fisiche e dinamiche dei materiali e delle strutture. La qualità dei materiali e le dimensioni degli elementi sono stati previsti in coerenza con tali obiettivi.

### **9.6 Misura Della Sicurezza**

Il metodo di verifica della sicurezza adottato sarà quello degli Stati Limite (SL) prevedendo due insiemi di verifiche rispettivamente per gli stati limite ultimi SLU e gli stati limite di esercizio SLE.

La sicurezza sarà quindi garantita progettando i vari elementi resistenti in modo da assicurare che la loro resistenza di calcolo sia sempre maggiore della corrispondente domanda in termini di azioni di calcolo.

### **9.7 Schematizzazione Della Struttura**

La struttura sarà modellata con il metodo degli elementi finiti utilizzando vari elementi di libreria specializzati per schematizzare i vari elementi strutturali.

Nel modello si terranno in conto i disassamenti tra i vari elementi strutturali schematizzandoli come vincoli cinematici rigidi.

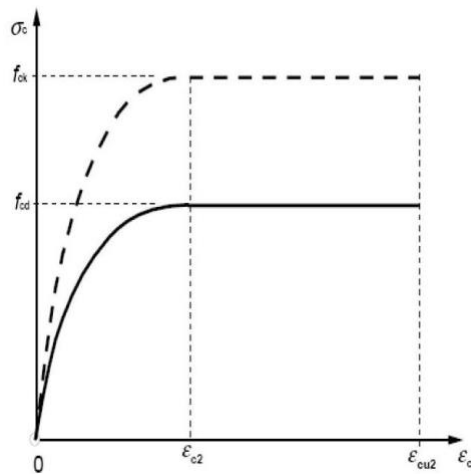
Le sollecitazioni derivanti dalle azioni sismiche saranno ottenute sia con da analisi statiche equivalenti che con da analisi dinamiche modali.

I vincoli tra i vari elementi strutturali e con il terreno saranno modellati in maniera congruente al reale comportamento strutturale.

Il modello di calcolo terrà conto dell'interazione suolo-struttura schematizzando le fondazioni superficiali

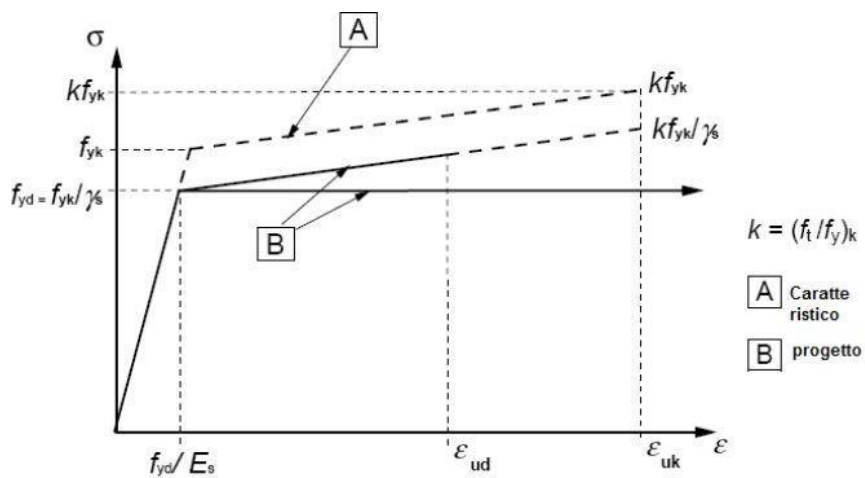
(con elementi plinto, trave o piastra) su suolo elastico alla Winkler.

Per le verifiche sezionali saranno utilizzati i seguenti legami:



*Legame costitutivo di progetto del calcestruzzo*

Il valore  $\epsilon_{cu2}$  nel caso di analisi non lineari è stato valutato in funzione dell'effettivo grado di confinamento esercitato dalle staffe sul nucleo di calcestruzzo.



*Legame costitutivo di progetto dell'acciaio per c.a.*

Il modello di calcolo da utilizzare è rappresentativo della realtà fisica per la configurazione finale anche in funzione delle modalità e sequenze costruttive.

### 9.8 Combinazione Di Calcolo

Le combinazioni di calcolo da considerare sono quelle previste dal D.M. 17.01.2018 per i vari stati limite e

per le varie azioni e tipologie costruttive.

In particolare, ai fini delle verifiche degli stati limite, sono state definite le seguenti combinazioni delle azioni (Cfr. al § 2.5.3 NTC 2018):

- *Combinazione fondamentale, generalmente impiegata per gli stati limite ultimi (SLU) (2.5.1);*
- *Combinazione caratteristica (rara), generalmente impiegata per gli stati limite di esercizio (SLE) irreversibili, da utilizzarsi nelle verifiche alle tensioni ammissibili di cui al § 2.7(2.5.2);*
- *Combinazione frequente, generalmente impiegata per gli stati limite di esercizio (SLE) reversibili (2.5.3);*
- *Combinazione quasi permanente (SLE), generalmente impiegata per gli effetti a lungo termine(2.5.4);*
- *Combinazione sismica, impiegata per gli stati limite ultimi e di esercizio connessi all'azione sismica E (v. § 3.2 form. 2.5.5);*
- *Combinazione eccezionale, impiegata per gli stati limite ultimi connessi alle azioni eccezionali di progetto Ad (v. § 3.6 form. 2.5.6).*

Nelle combinazioni per SLE, saranno omessi i carichi  $Q_k$  dal momento che hanno un contributo favorevole ai fini delle verifiche e, se del caso, i carichi  $G_2$ .

Altre combinazioni saranno considerate in funzione di specifici aspetti (p. es. fatica, ecc.), ove nelle formule il simbolo “+” è da intendersi “combinato con”.

I valori dei coefficienti parziali di sicurezza  $\gamma_{Gi}$  e  $\gamma_{Qj}$  sono stati desunti dalle norme (Cfr. § 2.6.1, Tab. 2.6.I).

#### Per le combinazioni sismiche:

Nel caso delle costruzioni civili e industriali le verifiche agli stati limite ultimi o di esercizio devono essere effettuate per la combinazione dell'azione sismica con le altre azioni (Cfr. § 2.5.3 form. 3.2.16 delle NTC 2018) Gli effetti dell'azione sismica saranno valutati tenendo conto delle masse associate ai carichi gravitazionali (form. 3.2.17).

I valori dei coefficienti  $\gamma_{2j}$  saranno desunti dalle norme (Cfr. Tabella 2.5.I). La struttura sarà progettata così che il degrado nel corso della sua vita nominale, con manutenzione ordinaria, non pregiudichi le sue prestazioni in termini di resistenza, stabilità e funzionalità, portandole al di sotto del livello richiesto dalle presenti norme.

Le misure di protezione contro l'eccessivo degrado sono stabilite con riferimento alle previste condizioni ambientali.

La protezione contro l'eccessivo degrado si otterrà con un'opportuna scelta dei dettagli, dei materiali e delle dimensioni strutturali, con l'utilizzo, ove necessario, dell'applicazione di sostanze o ricoprimenti protettivi,

nonché con l'adozione di altre misure di protezione attiva o passiva.

### 9.9 Azioni Agenti Sulle Fondazioni

Per la valutazione preliminare delle azioni di progetto ( $E_d$ ) in fondazione saranno utilizzate due combinazioni delle azioni:

#### Per quanto riguarda le azioni verticali:

- *SLU (combinazione fondamentale):*
- $E_d = \gamma G_1 * G_1$
- *SLU + SISMA (combinazione sismica) SLV:*
- $E_d = E + G_1 = G_1 * k_v + G_1$

#### Per quanto riguarda le azioni orizzontali:

- *combinazione sismica SLV (taglio sismico)*
- $E_d = G_1 * k_{hi}$

*In cui:*

- *Ed.* azione di progetto
- *G1* peso proprio degli elementi strutturali
- *$\gamma G_1$*  coefficiente parziale di sicurezza (A1, A2 - punto 2.6.1 delle NTC 2018 e tab.2.6.1)
- *E* azione sismica
- *$k_v$*  ordinata dello spettro di progetto delle componenti verticali in corrispondenza del periodo fondamentale  $T_1$
- *$k_{hi}$*  ordinata dello spettro di progetto delle componenti orizzontali in corrispondenza del periodo fondamentale  $T_1$

Per le combinazioni delle azioni  $E_d$  di cui sopra si è utilizzato l'Approccio normativo 2 (punto 2.6.1 delle NTC 2008):

$$(A1+M1+R3) - (STR + GEO)$$

Con:

- *A* = Azioni  $\gamma F$  (oppure  $\gamma E$  oppure  $\gamma G$ )
- *M* = resistenza dei materiali (terreno)  $\gamma M$
- *R* = resistenza globale del sistema  $\gamma R$

Inoltre per le azioni sismiche  $E$ , dagli spettri di progetto si sono calcolati i valori di  $k_v$  e  $k_{hi}$  con le seguenti assunzioni:

- *Fattore di struttura  $q = 1$*
- *Altezza media delle strutture = 3 m*
- *Periodo fondamentale  $T1=0,17s$*

### 9.10 Parametri sismici

L'Ordinanza n. 3274/2005 del Presidente del Consiglio dei Ministri ripresa e completata con la OPCM n. 3519/2006, integrata con le NTC 2008 e le NTC 2018 ha introdotto la nuova normativa tecnica in materia di progettazione antisismica, che ci adegua allo standard europeo (Eurocodice 8).

Infatti nel caso in cui si ha contezza delle condizioni stratigrafiche e delle proprietà dei terreni, si può fare riferimento a un approccio semplificato che si basa sulla classificazione del sottosuolo in funzione dei valori della velocità di propagazione delle onde di taglio,  $V_S$ , ottenuti mediante specifiche prove.

La classificazione del sottosuolo si effettua in base alle condizioni stratigrafiche ed ai valori della velocità equivalente di propagazione delle onde di taglio,  $V_{S,eq}$  (in m/s), definita dall'espressione:

$$V_{S,eq} = \frac{H}{\sum_{i=1}^N \frac{h_i}{V_{S,i}}}$$

con:

- $h_i$  spessore dell' $i$ -esimo strato;
- $V_{S,i}$  velocità delle onde di taglio nell' $i$ -esimo strato;
- $N$  numero di strati;
- $H$  profondità del substrato, definito come quella formazione costituita da roccia o terreno molto rigido, caratterizzata da  $V_S$  non inferiore a 800 m/s.

Per le fondazioni superficiali, la profondità del substrato è riferita al piano di imposta delle stesse, mentre per le fondazioni su pali è riferita alla testa dei pali. Nel caso di opere di sostegno di terreni naturali, la profondità riferita alla testa dell'opera.

Per muri di sostegno di terrapieni, la profondità è riferita al piano di imposta della fondazione.

Per depositi con profondità  $H$  del substrato superiore a 30 m, la velocità equivalente delle onde di taglio  $V_{S,eq}$  è definita dal parametro  $V_{S,30}$ , ottenuto ponendo  $H = 30$  m nella precedente espressione e considerando le proprietà degli strati di terreno fino a tale profondità.

Le categorie di sottosuolo che permettono l'utilizzo dell'approccio semplificato sono di seguito

rappresentate:

**Tab. 3.2.II** – *Categorie di sottosuolo che permettono l'utilizzo dell'approccio semplificato.*

<b>Categoria</b>	<b>Caratteristiche della superficie topografica</b>
A	<i>Ammassi rocciosi affioranti o terreni molto rigidi caratterizzati da valori di velocità delle onde di taglio superiori a 800 m/s, eventualmente comprendenti in superficie terreni di caratteristiche meccaniche più scadenti con spessore massimo pari a 3 m.</i>
B	<i>Rocce tenere e depositi di terreni a grana grossa molto addensati o terreni a grana fina molto consistenti, caratterizzati da un miglioramento delle proprietà meccaniche con la profondità e da valori di velocità equivalente compresi tra 360 m/s e 800 m/s.</i>
C	<i>Depositi di terreni a grana grossa mediamente addensati o terreni a grana fina mediamente consistenti con profondità del substrato superiori a 30 m, caratterizzati da un miglioramento delle proprietà meccaniche con la profondità e da valori di velocità equivalente compresi tra 180 m/s e 360 m/s.</i>
D	<i>Depositi di terreni a grana grossa scarsamente addensati o di terreni a grana fina scarsamente consistenti, con profondità del substrato superiori a 30 m, caratterizzati da un miglioramento delle proprietà meccaniche con la profondità e da valori di velocità equivalente compresi tra 100 e 180 m/s.</i>
E	<i>Terreni con caratteristiche e valori di velocità equivalente riconducibili a quelle definite per le categorie C o D, con profondità del substrato non superiore a 30 m.</i>

Per qualsiasi condizione di sottosuolo non classificabile nelle categorie precedenti, è necessario predisporre specifiche analisi di risposta locale per la definizione delle azioni sismiche.

*(stralcio della relazione geologica della Dott.ssa Geol. Giovanna Amedei, Rodi Garganico (FG) - Maggio 2022)*

“Ai fini della definizione del profilo stratigrafico dei terreni di fondazione sono stati realizzati n. 5 stendimenti sismici per la determinazione delle VS<sub>30</sub>. Il terreno di fondazione è classificabile come **Categoria C** per la parte di impianto ricadente nel **Comune di Bovino** e come **Categoria B** per la parte di impianto ricadente nel **Comune di Castelluccio dei Sauri**.”

“Il nuovo studio di pericolosità, allegato all’Ordinanza del Presidente del Consiglio dei Ministri n. 3519 del 28 aprile 2006, ha fornito alle Regioni uno strumento aggiornato per la classificazione del proprio territorio, introducendo degli intervalli di accelerazione (ag), con probabilità di superamento pari al 10% in 50 anni, da attribuire alle 4 zone sismiche:

SUDDIVISIONE DELLE ZONE SISMICHE	
Zona sismica	Accelerazione con probabilità di superamento pari al 10% in 50 anni (ag)
1	ag > 0.25
2	0.15 < ag ≤ 0.25
3	0.05 < ag ≤ 0.15
4	ag ≤ 0.05

*Suddivisione delle zone sismiche in relazione all'accelerazione di picco su terreno rigido (OPCM 3519/06).*

La Regione Puglia, con D.G.R. n. 153 dell'02/03/2004, ha provveduto all'aggiornamento della classificazione sismica dei Comuni della Puglia dalla quale si rileva che i **Comuni di Bovino e Castelluccio dei Sauri** rientrano in **zona 2** come da tabella che segue:

Codice ISTAT 2001	Classificazione 2003	PGA (g)	I
Bovino: 071007	Zona 2	0.25 g	8,7 MCS
Castelluccio dei Sauri 071015	Zona 2	0.25 g	8,7 MCS

Dove:

- PGA(g)=accelerazione orizzontale di picco del terreno (estimatore dello scuotimento alle alte frequenze), valore atteso con una probabilità di superamento del 10% in 50 anni (periodo di ritorno di 457 anni).
- I=intensità macrosismica (MCS) valore di intensità MCS atteso con una probabilità di superamento del 10% in 50 anni (periodo di ritorno di 475 anni).
- $g=981 \text{ cm/sec}^2$  (accelerazione di gravità)."

## 10. ANALISI DEI CARICHI STRUTTURE - TRACKER

Un'accurata valutazione dei carichi è un requisito imprescindibile di una corretta progettazione, in particolare per le costruzioni realizzate in zona sismica.

Essa, infatti, è fondamentale ai fini della determinazione delle forze sismiche, in quanto incide sulla valutazione delle masse e dei periodi propri della struttura dai quali dipendono i valori delle accelerazioni (ordinate degli spettri di progetto).

La valutazione dei carichi e dei sovraccarichi è stata effettuata in accordo con le disposizioni del Decreto Ministero Infrastrutture Trasporti 17 gennaio 2018 (“Norme tecniche per le Costruzioni”).

La valutazione dei carichi permanenti sarà effettuata sulle dimensioni definitive.

Lo studio sarà effettuato sul tracker da 84 pannelli perché di dimensione maggiore rispetto agli altri due, mantenendo comunque le stesse caratteristiche di utilizzo e di interesse tra gli elementi.

## **10.1 Localizzazione dell'intervento**

Provincia: FOGGIA

Regione: PUGLIA

Coordinate GPS:

Latitudine : 41°17'44.16"N

Longitudine: 15°26'25.44"E

Altitudine s.l.m.: 222 m

## **10.2 Analisi dei carichi**

I carichi vengono suddivisi secondo la nuova classificazione fornita dal D.M.17/01/2018 in :

- a) permanenti G;
- b) variabili Q;
- e) sismici E.

### **10.2.1 Carichi permanenti G**

Nel modello di calcolo i carichi permanenti sono generati in automatico tramite le caratteristiche geometriche degli elementi e la definizione del materiale acciaio. I carichi permanenti portati dipendono, invece, dalle dimensioni del pannello fotovoltaico e dal peso del meccanismo di rotazione del tracker.

### **10.2.2 Calcolo delle azioni del vento**

Nella Circolare del C.S.LL.PP. n.7 del 21.01.2019, la stima dei coefficienti aerodinamici  $c_p$ , contiene sostanziali differenze rispetto alla Circolare n.617 del 2009.

Nel documento, infatti, sono presenti diverse metodologie per ricavare i  $c_p$  e differenziandoli per varie tipologie edilizie. Tra queste tipologie è stata scelto di assimilare il tracker ad una tettoia (C3.3.8.2) non essendo presenti in normativa riferimenti a queste particolari tipologie di strutture e data la reale somiglianza costruttiva.

In particolare i coefficienti aerodinamici sono definiti in funzione della direzione del vento (ortogonale o parallela) e delle dimensioni dell'elemento. Inoltre, la trattazione è differenziata per coperture piane, a falda singola o doppia, ecc..

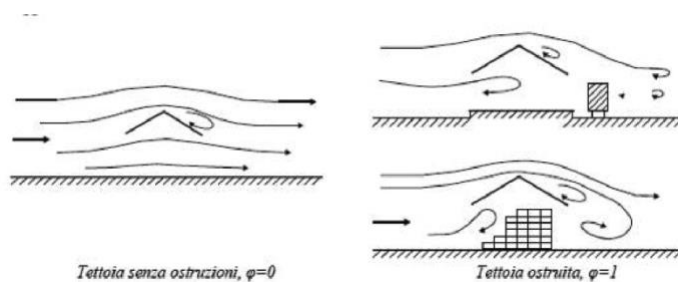
Al paragrafo C3.3.8.2, vengono forniti i criteri per valutare le azioni globali del vento sulle coperture in cui lo spazio sottostante non sia delimitato in maniera permanente da pareti. In tale paragrafo l'azione del vento sulle tettoie è schematizzata attraverso forze  $F$  risultanti dal campo di pressioni sulla superficie della falda della tettoia, dirette ortogonalmente ad essa. Tali forze dipendono dalla pressione cinetica, dai nuovi coefficienti di forza  $c_F$ , dalla superficie della falda e dalla sua altezza, e sono applicate in punti diversi a seconda della tipologia di tettoia.

Nella Circolare viene introdotto il coefficiente di bloccaggio  $\Phi$  definito come il rapporto tra l'area esposta al vento di una eventuale ostruzione presente al di sotto della tettoia e l'area totale della superficie ortogonale alla direzione del vento al di sotto della tettoia:

$\Phi=0$  assenza di ostruzioni al di sotto della tettoia (tettoia libera)

$\Phi=1$  lo spazio al di sotto della tettoia è completamente ostruito

Differenze di flusso d'aria per tettoie con  $\Phi=0$  e  $\Phi=1$ :



E' importante osservare che le azioni aerodinamiche esercitate del vento sulle tettoie dipendono fortemente dal grado di bloccaggio in quanto la presenza di un'ostruzione, anche soltanto sul lato sottovento, impedisce il passaggio dell'aria al di sotto della tettoia

La Tabella C3.3.XV e la relativa Figura C.3.3.21 riportano i valori dei coefficienti di forza per le tettoie a semplice falda con vento agente perpendicolarmente alla linea di colmo. I valori dei coefficienti di forza sono

espressi in funzione del grado di bloccaggio  $\Phi$  e dell'inclinazione della falda. Per valori intermedi di  $\Phi$  è ammessa una interpolazione lineare tra i valori relativi ai casi di  $\Phi=0$  e  $\Phi=1$ .

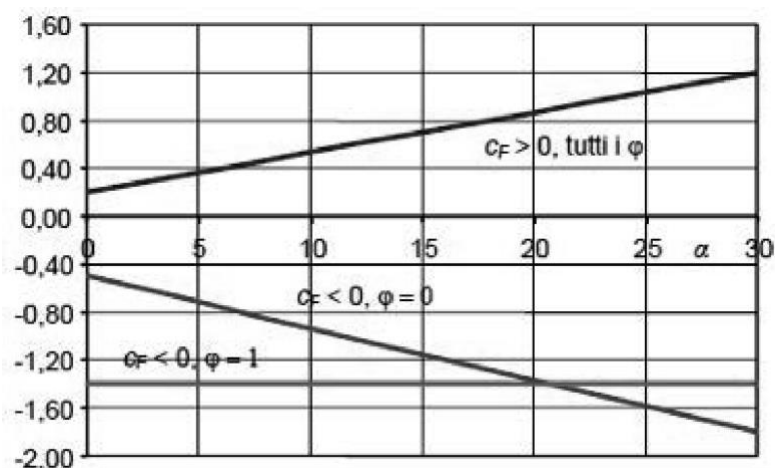


Figura C3.3.21 - Coefficienti di pressione complessiva per tettoie a semplice falda

Tabella C3.3.XV - Coefficienti di forza per tettoie a semplice falda

Valori positivi	Tutti i valori di $\varphi$	$c_F = +0,2 + \alpha/30$
Valori negativi	$\varphi = 0$	$c_F = -0,5 - 1,3 \cdot \alpha/30$
	$\varphi = 1$	$c_F = -1,4$

La forza F è data dalla formula:

$$F = q_p \cdot L_2 \cdot c_F$$

$q_p$  = pressione cinetica di picco

$L_2$  = superficie della tettoia a cui è applicata la forza

$c_F$  = coefficiente di forza

Per il calcolo della tettoia la Circolare raccomanda che si considerino le condizioni di carico più gravose tra quelle riportate in figura:

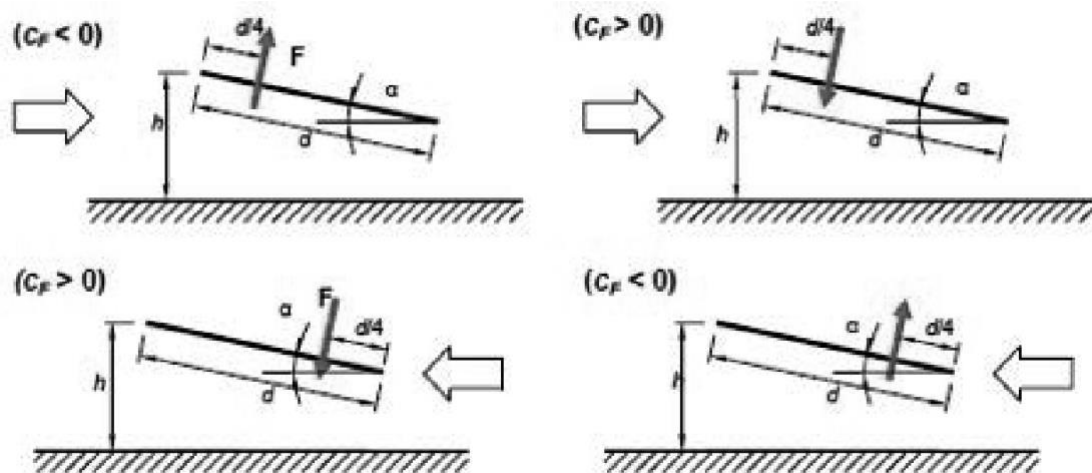


Figura C3.3.22 - Tettoie a semplice falda: posizione del punto di applicazione della forza risultante in funzione della direzione di provenienza del vento e della direzione della forza

La pressione cinetica di picco  $q_p$  viene calcolata con la seguente formula:

$$q_p = q_b * c_e$$

$q_b$  = pressione cinetica di riferimento

$c_e$  = coefficiente di esposizione

la pressione cinetica di riferimento  $q_b$  è pari a:

$$q_b = \frac{1}{2} \rho v_b^2$$

$v_b$  = Velocità di riferimento del vento (in m/s)

$\rho$  = densità dell'aria assunta convenzionalmente costante pari a 1,25 Kg/m<sup>3</sup>

La verifica è stata effettuata considerando due modelli di calcolo, ovvero un tracker nella sua configurazione orizzontale  $\alpha = 0,0^\circ$  e uno nella configurazione di inclinazione massima  $\alpha = \pm 55^\circ$ .

Nelle due configurazioni del tracker in esercizio, ovvero orizzontale e a  $55^\circ$ , la velocità verrà considerata in modo differente in quanto l'impianto è dotato di un anemometro che posiziona i pannelli ad  $\alpha = 0,0^\circ$  una volta rilevata una velocità pari a 50 km/h = 13,89 m/s. Il calcolo verrà dunque effettuato con la massima velocità di progetto soltanto per la configurazione dei pannelli in orizzontale.

Zona vento = 3

Velocità base della zona,  $v_{b,0} = 27,0$  m/s (Tab. 3.3.I)

Altitudine base della zona,  $A_0 = 500$  m (Tab. 3.3.I)

Altitudine del sito,  $A_s = 222$  m

$K_a = 0,370$  (Tab. 3.3.I)

Velocità di riferimento,  $V_b = 27,00$  m/s ( $V_b = V_{b.o}$  per  $A_s \leq A_o$ )

Periodo di ritorno,  $T_r = 50$  anni

$C_r = 1$  per  $T_r = 50$  anni

Velocità riferita al periodo di ritorno di progetto,  $V_r = V_b C_r = 27,00$  m/s

Classe di rugosità del terreno: D

[Aree prive di ostacoli o con al di più rari ostacoli isolati (aperta campagna, aeroporti, aree agricole, zone paludose o sabbiose, superfici innevate o ghiacciate, mare, laghi,...)]

Categoria esposizione: (Entroterra oltre 30 km dal mare con  $a_s < 500$ m) tipo II

( $K_r = 0,19$ ;  $Z_o = 0,05$  m;  $Z_{min} = 4$  m)

Coefficiente di esposizione,  $C_e = 1,80$

Infine dunque le due velocità considerate saranno:

**$V_b = 14$  m/s per  $\alpha = \pm 55^\circ$**

**$V_b = 27,0$  m/s per  $\alpha = 0,0^\circ$**

per la configurazione  $\alpha = \pm 55^\circ$  e  $V_b = 14$  m/s si ha:

$$q_b = \frac{1}{2} * 1,25 * (14 \text{ m/s})^2 = 12,2 \text{ daN/m}^2$$

$$q_p = 12,2 \text{ daN/m}^2 * 1,80 = 22 \text{ daN/m}^2$$

le forze concentrate F saranno pari a:

$$F_1(c_f < 0, \Phi = 0) = 22 \text{ daN/m}^2 * 278,5 \text{ m}^2 * (-2,88) = -17646 \text{ daN}$$

$$\text{con } c_f = -0,5 - 1,3 * 55/30 = -2,88$$

e

$$F_2(c_f > 0, \text{ tutti i } \Phi) = 22 \text{ daN/m}^2 * 278,5 \text{ m}^2 * (+2,03) = 12438 \text{ daN}$$

$$\text{con } c_f = +0,2 + 55/30 = +2,03$$

dividendo le due forze  $F_1$  ed  $F_2$  per il numero delle aste del modello otteniamo le forze  $f_1$  ed  $f_2$  applicate direttamente sulle aste:

$$f_1 = -17646 \text{ daN} / 44 = -401,1 \text{ daN}$$

$$f_2 = 12438 \text{ daN} / 44 = 282,7 \text{ daN}$$

per la configurazione  $\alpha = 0,0^\circ$  e  $V_b = 27,0$  m/s si ha:

$$q_b = \frac{1}{2} * 1,25 * (27,0 \text{ m/s})^2 = 46 \text{ daN/m}^2$$

$$q_p = 46 \text{ daN/m}^2 * 1,80 = 82,8 \text{ daN/m}^2$$

le forze concentrate F saranno pari a:

$$F_1(c_f < 0, \Phi=0) = 82,8 \text{ daN/m}^2 * 278,5 \text{ m}^2 * (-0,5) = -11530 \text{ daN}$$

con  $c_f = -0,5$

$$F_2(c_f > 0, \text{tutti i } \Phi) = 82,8 \text{ daN/m}^2 * 278,5 \text{ m}^2 * (+0,2) = 4612 \text{ daN}$$

con  $c_f = +0,2$

dividendo le due forze F1 ed F2 per il numero delle aste del modello otteniamo le forze f1 ed f2 applicate direttamente sulle aste:

$$f_1 = -11530 \text{ daN} / 44 = \mathbf{-262,1 \text{ daN}}$$

$$f_2 = 4612 \text{ daN} / 44 = \mathbf{104,8 \text{ daN}}$$

### 10.2.3 Calcolo delle azioni da neve

Il carico statico viene determinato in base alla seguente espressione:

$$q_s = \mu_i * q_{sk} * C_e * C_t$$

dove:

$\mu_i$  è il coefficiente di forma sulla copertura;

$q_{sk}$  è il valore caratteristico di riferimento del carico neve al suolo [kN/m<sup>2</sup>], per un periodo di ritorno  $T_r$  di 50 anni;

$C_e$  è il coefficiente di esposizione;

$C_t$  è il coefficiente termico.

#### Carico da neve per la configurazione $\alpha = 55,0^\circ$

Zona Neve = II

$C_e$  (coeff. di esposizione al vento) = 0,90

Valore caratteristico del carico al suolo =  $q_{sk} = 103 \text{ daN/mq}$

$C_t = 1$

Copertura ad una falda:

Angolo di inclinazione della falda  $\alpha = 55,0^\circ$

$$\mu_i = 0,13 \Rightarrow q_{s1} = \mu_i * q_{sk} * C_e * C_t = 12,4 \text{ daN/mq}$$

**Carico da neve per la configurazione  $\alpha = 0^\circ$**

Zona Neve = II

$C_e$  (coeff. di esposizione al vento) = 0,90

Valore caratteristico del carico al suolo =  $q_{sk} = 103 \text{ daN/mq}$

$C_t = 1$

Copertura ad una falda:

Angolo di inclinazione della falda  $\alpha = 0^\circ$

$$\mu_i = 0,80 \Rightarrow q_{s2} = \mu_i * q_{sk} * C_e * C_t = 74,2 \text{ daN/mq}$$

### 10.3 Valutazione dell'azione sismica

L'azione sismica sulle costruzioni è valutata a partire dalla "pericolosità sismica di base", in condizioni ideali di sito di riferimento rigido con superficie topografica orizzontale.

Allo stato attuale, la pericolosità sismica su reticolo di riferimento nell'intervallo di riferimento è fornita dai dati pubblicati sul sito <http://esse1.mi.ingv.it/>. Per punti non coincidenti con il reticolo di riferimento e periodi di ritorno non contemplati direttamente si opera come indicato nell'allegato alle NTC (rispettivamente media pesata e interpolazione).

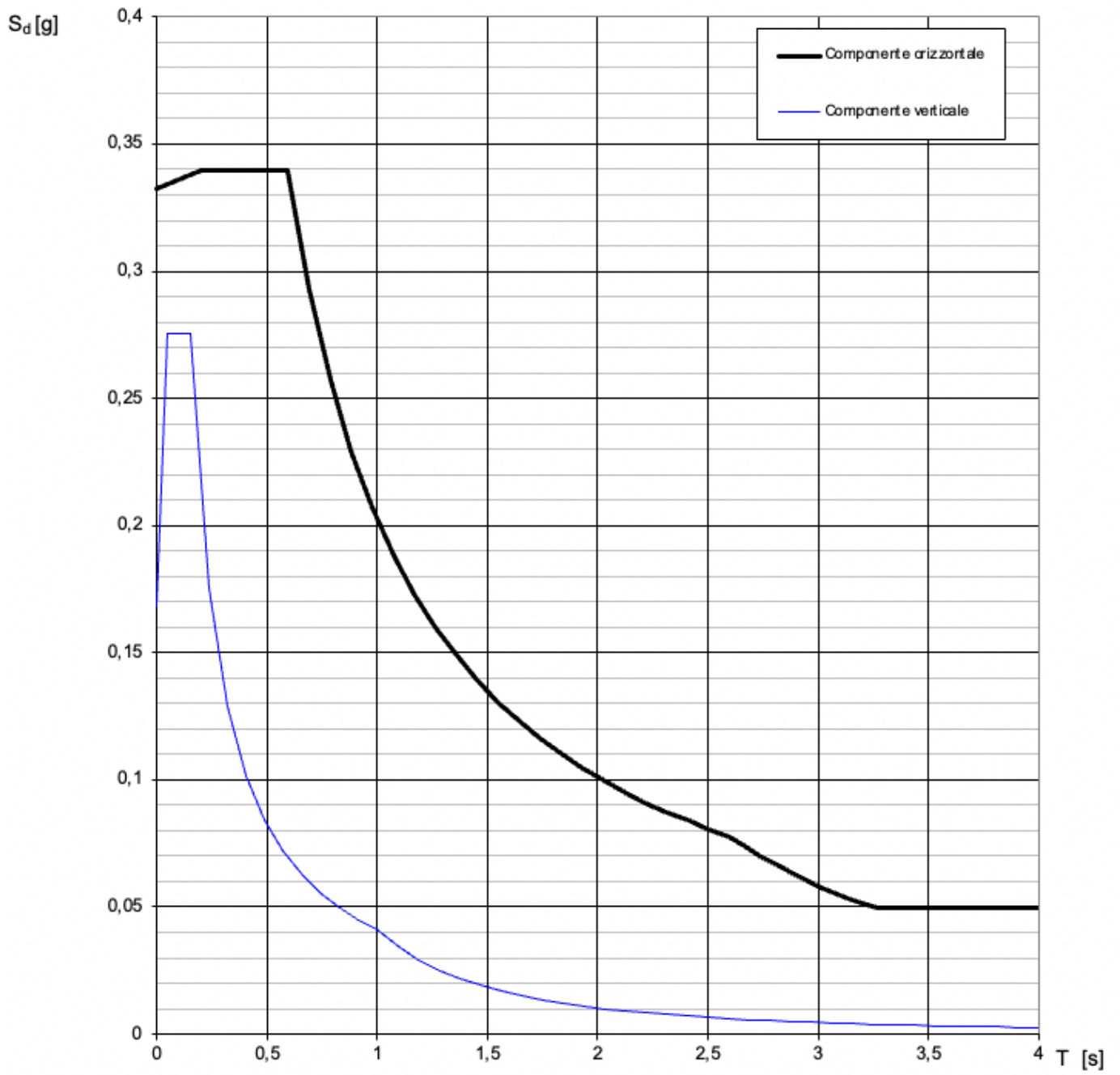
L'azione sismica viene definita in relazione ad un periodo di riferimento  $V_r$  che si ricava, per ciascun tipo di costruzione, moltiplicandone la vita nominale per il coefficiente d'uso (vedi tabella Parametri della struttura). Fissato il periodo di riferimento  $V_r$  e la probabilità di superamento  $P_{ver}$  associata a ciascuno degli stati limite considerati, si ottiene il periodo di ritorno  $T_r$  e i relativi parametri di pericolosità sismica (vedi tabella successiva):

**Comune di Bovino:**

**Categoria sottosuolo C**

**Classe d'uso IV**

**Spettri di risposta (componenti orizz. e vert.) per lo stato limite: SLV**



**Parametri indipendenti**

STATO LIMITE	SLV
$a_g$	0,250 g
$F_o$	2,453
$T_C$	0,427 s
$S_S$	1,333
$C_C$	1,390
$S_T$	1,000
$q$	2,400

**Parametri dipendenti**

$S$	1,333
$\eta$	0,417
$T_B$	0,198 s
$T_C$	0,594 s
$T_D$	2,598 s

**Espressioni dei parametri dipendenti**

$$S = S_S \cdot S_T \quad (\text{NTC-08 Eq. 3.2.5})$$

$$\eta = \sqrt{10/(5 + \xi)} \geq 0,55; \quad \eta = 1/q \quad (\text{NTC-08 Eq. 3.2.6; §. 3.2.3.5})$$

$$T_B = T_C / 3 \quad (\text{NTC-07 Eq. 3.2.8})$$

$$T_C = C_C \cdot T_C^* \quad (\text{NTC-07 Eq. 3.2.7})$$

$$T_D = 4,0 \cdot a_g / g + 1,6 \quad (\text{NTC-07 Eq. 3.2.9})$$

**Espressioni dello spettro di risposta** (NTC-08 Eq. 3.2.4)

$$0 \leq T < T_B \quad S_c(T) = a_g \cdot S \cdot \eta \cdot F_o \cdot \left[ \frac{T}{T_B} + \frac{1}{\eta \cdot F_o} \left( 1 - \frac{T}{T_B} \right) \right]$$

$$T_B \leq T < T_C \quad S_c(T) = a_g \cdot S \cdot \eta \cdot F_o$$

$$T_C \leq T < T_D \quad S_c(T) = a_g \cdot S \cdot \eta \cdot F_o \cdot \left( \frac{T_C}{T} \right)$$

$$T_D \leq T \quad S_c(T) = a_g \cdot S \cdot \eta \cdot F_o \cdot \left( \frac{T_C T_D}{T^2} \right)$$

Lo spettro di progetto  $S_d(T)$  per le verifiche agli Stati Limite Ultimi è ottenuto dalle espressioni dello spettro elastico  $S_e(T)$  sostituendo  $\eta$  con  $1/q$ , dove  $q$  è il fattore di struttura. (NTC-08 § 3.2.3.5)

**Punti dello spettro di risposta**

	T [s]	Se [g]
	0,000	0,333
	0,198	0,340
$T_B$ ←	0,594	0,340
$T_C$ ←	0,690	0,293
	0,785	0,257
	0,880	0,229
	0,976	0,207
	1,071	0,189
	1,167	0,173
	1,262	0,160
	1,358	0,149
	1,453	0,139
	1,549	0,130
	1,644	0,123
	1,739	0,116
	1,835	0,110
	1,930	0,105
	2,026	0,100
	2,121	0,095
	2,217	0,091
	2,312	0,087
	2,408	0,084
	2,503	0,081
$T_D$ ←	2,598	0,078
	2,665	0,074
	2,732	0,070
	2,799	0,067
	2,865	0,064
	2,932	0,061
	2,999	0,058
	3,066	0,056
	3,132	0,053
	3,199	0,051
	3,266	0,050
	3,333	0,050
	3,399	0,050
	3,466	0,050
	3,533	0,050
	3,600	0,050
	3,666	0,050
	3,733	0,050
	3,800	0,050
	3,867	0,050
	3,933	0,050
	4,000	0,050

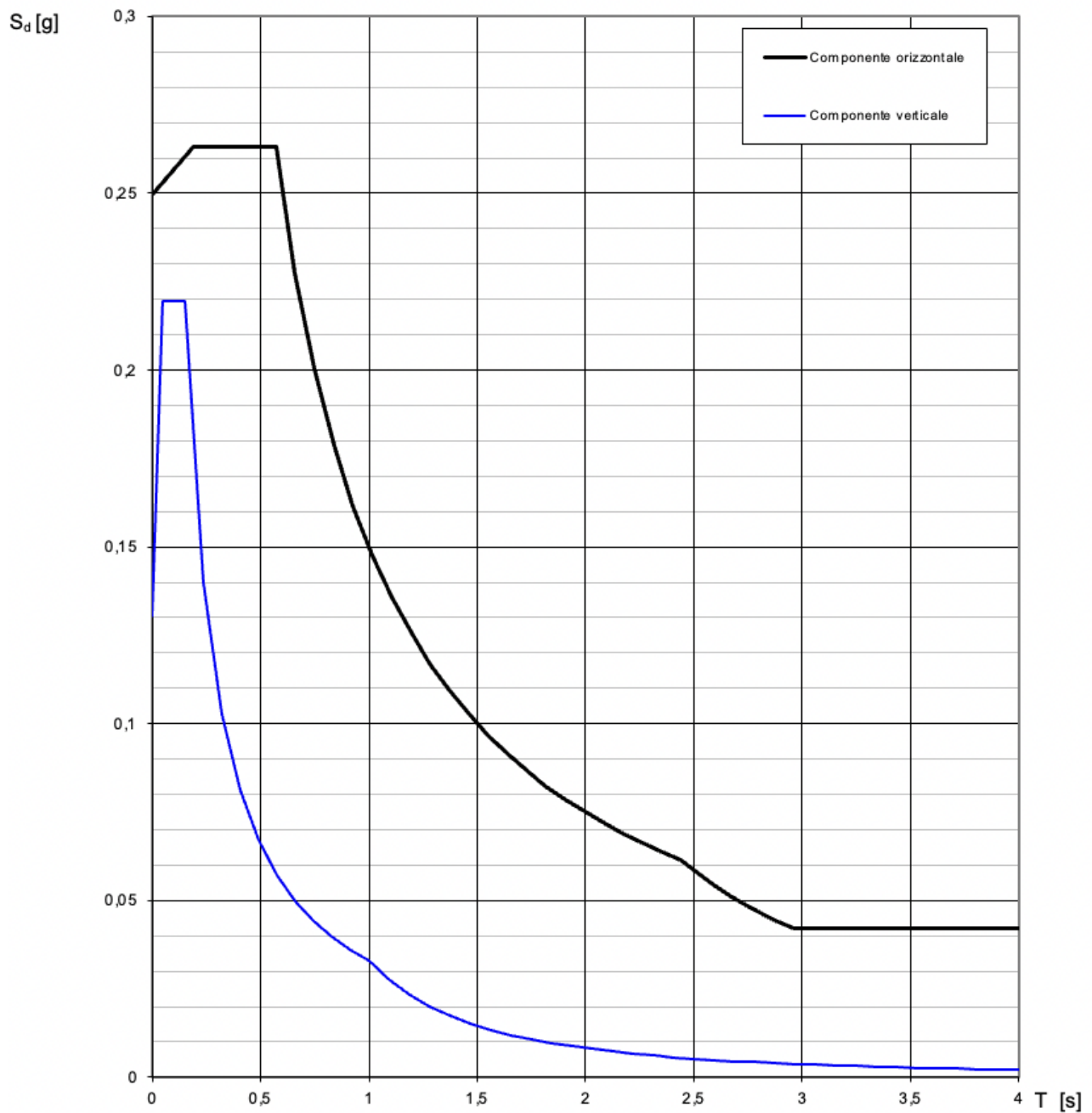
Comune di Castelluccio del Sauri:

Categoria sottosuolo B

Classe d'uso IV

**Spettri di risposta (componenti orizz. e vert.) per lo stato limite: SLV**

---



**Parametri indipendenti**

STATO LIMITE	SLV
$a_g$	0,211 g
$F_0$	2,526
$T_C^*$	0,439 s
$S_S$	1,187
$C_C$	1,297
$S_T$	1,000
$q$	2,400

**Parametri dipendenti**

$S$	1,187
$\eta$	0,417
$T_B$	0,190 s
$T_C$	0,570 s
$T_D$	2,442 s

**Espressioni dei parametri dipendenti**

$$S = S_S \cdot S_T \quad (\text{NTC-08 Eq. 3.2.5})$$

$$\eta = \sqrt{10/(5 + \xi)} \geq 0,55; \quad \eta = 1/q \quad (\text{NTC-08 Eq. 3.2.6; §. 3.2.3.5})$$

$$T_B = T_C / 3 \quad (\text{NTC-07 Eq. 3.2.8})$$

$$T_C = C_C \cdot T_C^* \quad (\text{NTC-07 Eq. 3.2.7})$$

$$T_D = 4,0 \cdot a_g / g + 1,6 \quad (\text{NTC-07 Eq. 3.2.9})$$

**Espressioni dello spettro di risposta** (NTC-08 Eq. 3.2.4)

$$0 \leq T < T_B \quad S_c(T) = a_g \cdot S \cdot \eta \cdot F_0 \cdot \left[ \frac{T}{T_B} + \frac{1}{\eta \cdot F_0} \left( 1 - \frac{T}{T_B} \right) \right]$$

$$T_B \leq T < T_C \quad S_c(T) = a_g \cdot S \cdot \eta \cdot F_0$$

$$T_C \leq T < T_D \quad S_c(T) = a_g \cdot S \cdot \eta \cdot F_0 \cdot \left( \frac{T_C}{T} \right)$$

$$T_D \leq T \quad S_c(T) = a_g \cdot S \cdot \eta \cdot F_0 \cdot \left( \frac{T_C T_D}{T^2} \right)$$

Lo spettro di progetto  $S_d(T)$  per le verifiche agli Stati Limite Ultimi è ottenuto dalle espressioni dello spettro elastico  $S_e(T)$  sostituendo  $\eta$  con  $1/q$ , dove  $q$  è il fattore di struttura. (NTC-08 § 3.2.3.5)

**Punti dello spettro di risposta**

	T [s]	Se [g]
	0,000	0,250
$T_B \leftarrow$	0,190	0,263
$T_C \leftarrow$	0,570	0,263
	0,659	0,227
	0,748	0,200
	0,837	0,179
	0,926	0,162
	1,015	0,148
	1,105	0,136
	1,194	0,126
	1,283	0,117
	1,372	0,109
	1,461	0,103
	1,550	0,097
	1,640	0,091
	1,729	0,087
	1,818	0,082
	1,907	0,079
	1,996	0,075
	2,085	0,072
	2,175	0,069
	2,264	0,066
	2,353	0,064
$T_D \leftarrow$	2,442	0,061
	2,516	0,058
	2,590	0,055
	2,665	0,052
	2,739	0,049
	2,813	0,046
	2,887	0,044
	2,961	0,042
	3,036	0,042
	3,110	0,042
	3,184	0,042
	3,258	0,042
	3,332	0,042
	3,406	0,042
	3,481	0,042
	3,555	0,042
	3,629	0,042
	3,703	0,042
	3,777	0,042
	3,852	0,042
	3,926	0,042
	4,000	0,042

## CONCLUSIONI

Rinviando alla progettazione definitiva la verifica strutturale dei tracker secondo i dettami delle NTC2018 e vista la natura dell'opera, le azioni significative per il dimensionamento delle strutture di sostegno degli inseguitori solari sono rappresentate dalla distribuzione dei carichi derivanti dalle azioni del vento e neve. Altre azioni minori e certamente non dimensionanti, sono rappresentate dal peso proprio delle strutture e dalle azioni dinamiche indotte dalle sollecitazioni sismiche.

Le sollecitazioni derivanti da dette azioni risultano secondarie all'analisi strutturale rispetto alle azioni dinamiche indotte dal vento e dalla neve, visto soprattutto la trascurabile massa dei moduli che ricopre un ruolo determinante nelle verifiche statiche e dinamiche da sisma.

Per ciò che riguarda le restanti componenti minori, quali container, cabine, pali di illuminazione, si rimandano alla fase di progettazione definitiva le verifiche della sicurezza strutturale delle relative fondazioni su piastra e le verifiche geotecniche dei pali infissi dei tracker.

Catania, Maggio 2022

Il tecnico

Arch. Luca Antonio Tringali